

EGE ÜNİVERSİTESİ FEN BİLİMLERİ ENSTİTÜSÜ

(YÜKSEK LİSANS TEZİ)

**ÇOK BOYUTLU VERİTABANLARINDA
KÜMELEME YÖNTEMLERİ ÜZERİNE**

Elvin NASİBOV

Tez Danışmanı: Doç. Dr. Burak Ordın

Matematik Anabilim Dalı

Bilim Dalı Kodu: 619.03.03

Sunuş Tarihi: 26.12.2012

Bornova-İZMİR

2012

Elvin Nasibov tarafından Yüksek Lisans tezi olarak sunulan “Çok Boyutlu Veritabanlarında Kümeleme Yöntemleri Üzerine” başlıklı bu çalışma E.Ü. Lisansüstü Eğitim ve Öğretim Yönetmeliği ile E.Ü. Fen Bilimleri Enstitüsü Eğitim ve Öğretim Yönergesi'nin ilgili hükümleri uyarınca tarafımızdan değerlendirilerek savunmaya değer bulunmuş ve 26.12.2012 tarihinde yapılan tez savunma sınavında aday oybirliği/oyçokluğu ile başarılı bulunmuştur.

Jüri Üyeleri:

Jüri Başkanı

: Prof. Dr. Uğur NURİHEV

Raportör Üye

: Doç. Dr. Burak ÖRDİN

Üye

: Yrd. Doç. Dr. Mehmet KURT

İmza


.....

.....

.....

ÖZET

**ÇOK BOYUTLU VERİTABANLARINDA KÜMELEME
YÖNTEMLERİ ÜZERİNE**

NASİBOV, Elvin

Yüksek Lisans Tezi, Matematik Anabilim Dalı

Tez Danışmanı: Doç. Dr. Burak ORDİN

Aralık 2012, 60 sayfa

Veri madenciliği yöntemlerinden biri olan Kümeleme Analizi, verilerin özelliklerini gözönüne alarak, birbirleri ile benzer olan verileri alt kümelere ayırmayı sağlayan çok boyutlu veri analiz yöntemidir. Kümeleme analizinin bir diğer tanımı da şu şekilde verilebilir: Özellikler arası benzerlik ya da farklılıklara dayalı olarak hesaplanan bazı ölçülerden yararlanarak verileri homojen gruplara bölmek, belirli prototipler tanımlamaktır.

Kümeleme yöntemleri hiyerarşik ve hiyerarşik olmayan yöntemler olarak iki sınıfa ayrılır. Hiyerarşik kümelemede veri noktaları belirli bölümlene düzeylerinde birleştirilir veya ayrıştırılır. Hiyerarşik olmayan kümeleme yaklaşımında ise, veri noktaları belirli bölümlene kriterlerine göre belirli sayıda kümelere ayrılır.

Bu tezde, hiyerarşik olmayan kümeleme yaklaşımına dayanan, veri setindeki veri grupları arasında kesin ayrımın söz konusu olduğu, kesin kümeleme algoritmalarından olan artımlı algoritmalar incelenmiştir. Kesin kümeleme içerisinde yer alan artımlı algoritmalar, veri setindeki veri grupları arasında kesin ayrımın söz konusu olmadığı, bir verinin belirli bir üyelik derecesiyle birden fazla kümeye ait olabildiği bulanık kümeleme yöntemleri ile beraber ele alınıp, bulanık kümeleme problemleri için yeni bir algoritma önerilmiştir. Önerilen artımlı yöntem C# dilinde MS SQL Server Veri Tabanı Yönetim Sistemi imkanları kullanılarak programlanıp, 12 gerçek veri seti üzerinde hesaplama denemeleri yapılmıştır. Önerilen algoritma Bulanık c-Ortalamlar algoritması ile kıyaslandığında yöntemin yararlılığı açıkça görülmektedir.

Anahtar kelimeler: Bulanık c-Ortalamlar, Global k-Ortalamlar, Bulanık Kümeleme, Pürüzlü Optimizasyon.

ABSTRACT
METHODS OF CLUSTERING ON MULTIDIMENSIONAL
DATABASES

Nasibov, Elvin

Supervisor: Assoc. Prof. Burak ORDİN

December 2012, 60 pages

The Clustering Analysis, is one of the main techniques of data mining and it is also the method of analysis of multidimensional databases which divides the data set into clusters based on the similarity of data points. Another definition of cluster analysis can be given as follows: Divide data into homogeneous groups by using calculated measures on the basis of similarities or differences among the properties, to identify the specific prototypes.

Clustering methods are divided into two classes: Hierarchical and non-hierarchical methods. On Hierarchical clustering the data points are combined and separated with the specific levels of partitioning. On non-hierarchical approaching the data points are divided into given number of clusters, according to the given criteria.

In this thesis, the exact (hard) incremental clustering algorithms were investigated. This algorithms are based on the approach of non-hierarchical clustering. The hard incremental clustering algorithms with fuzzy clustering algorithms where there is not absolute division between the groups, and each data data may belong to more than one cluster with the fuzzy membership degree, are examined and a new algorithm is proposed for fuzzy clustering problems. The proposed incremental method programmed in C # using MS SQL Server and calculation experiments have been made on 12 real data set. The proposed method compared with the Fuzzy c-Means algorithm and usefulness of method is clearly seen.

Key words: Fuzzy c-Means, Global k-Means, Fuzzy Clustering, Nonsmooth Optimization.

TEŐEKKÜR

Yüksek lisans çalışmam boyunca, bu tezi hazırlamam için benden bilgisini ve anlayışını hiçbir zaman esirgemeyen değerli hocam Doç. Dr. Burak ORDİN'e sonsuz teşekkür ederim. Ayrıca, desteğini ve ilgisini her zaman yanımda duyduğum değerli hocam Prof. Dr. Urfat NURİYEV'e teşekkür etmeđi kendime bir borc bilirim.

Hayatım boyunca bana her türlü destek olan, beni her zaman anlayışla karşılayan aileme ve tüm sevdiklerime çok teşekkür ederim.

İÇİNDEKİLER

Sayfa

| | |
|--|-----|
| ÖZET | iii |
| ABSTRACT | v |
| TEŞEKKÜR | vii |
| 1.GİRİŞ | 1 |
| 2.KÜMELEME PROBLEMİNİN MATEMATİKSEL MODELLENMESİ..... | 6 |
| 2.1. Kesin Kümeleme Problemi..... | 6 |
| 2.2. Bulanık Kümeler Ve Bulanık Bölümleme | 8 |
| 3.KÜMELEME PROBLEMİ İÇİN KESİN VE BULANIK ÇÖZÜM ALGORİTMALARI..... | 15 |
| 3.1. k-ortalamalar Algoritması | 15 |
| 3.2. Global k-ortalamalar Algoritması..... | 16 |
| 3.3. Modifiye Edilmiş Global k-ortalamalar Algoritması..... | 17 |
| 3.4. Başlangıç Küme Merkezleri Bulmak Algoritması | 18 |
| 3.5. Bulanık c-ortalamalar Algoritması | 22 |
| 4. MODİFİYE EDİLMİŞ BULANIK GLOBAL KÜMELEME ALGORİTMASI..... | 25 |
| 4.1. Modifiye Edilmiş Bulanık Global c-ortalamalar Algoritması | 25 |
| 4.2. Bulanık Kümelemede Başlangıç Kümelerin Bulunması. | 26 |
| 5. HESAPLAMA DENEMELERİ | 27 |

İÇİNDEKİLER (devam)

Sayfa

| | |
|---|----|
| 6. KÜMELEME YÖNTEMLERİNİN GERÇEKLEŞTİRİLMESİ İÇİN GELİŞTİRİLEN YAZILIM. | 34 |
| 7. SONUÇ..... | 43 |
| KAYNAKLAR DİZİNİ | 44 |
| EKLER..... | |

ŞEKİLLER DİZİNİ

| <u>Şekil</u> | <u>Sayfa</u> |
|---|--------------|
| 2.1. Üyelik fonksiyonu (2.10) formülü olan bulanık küme..... | 9 |
| 2.2 Üyelik fonksiyonu (2.11) formülü olan bulanık küme..... | 10 |
| 2.3 Bulanık kümelerin kesişmesi..... | 12 |
| 2.4 Bulanık kümelerin birleşmesi..... | 12 |
| 2.5 Bulanık kümenin değil'i..... | 12 |
| 6.1 Ana sekmenin görüntüsü | 34 |
| 6.2 Data&Parameters sekmesi..... | 35 |
| 6.3 Dimention Limits sekmesi..... | 36 |
| 6.4 Veri Girişi..... | 37 |
| 6.5 Müller – Box dönüştürme yöntemiyle sınırlı ve sınırsız dağılım..... | 38 |
| 6.6 Veri setinin seçilmesi | 39 |
| 6.7 Kümeleme işlemi sonucu (2 boyutlu veri setinin bulanık 4 kümeye ayrılması)..... | 40 |
| 6.8 Kesin kümeleme sonucu (küme sınırları kesin ayrılmakta). | 41 |
| 6.9 Bulanık kümeleme sonucu (küme sınırlarının bulanık şekli). | 42 |

ÇİZELGELER DİZİNİ

| <u>Çizelge</u> | <u>Sayfa</u> |
|---|--------------|
| 5.1. Veri setlerinin açık tanımı | 9 |
| 5.2 Bavaria1 veri seti için sonuçlar. | 10 |
| 5.3 Bavaria2 veri seti için sonuçlar | 12 |
| 5.4 IRIS veri seti için sonuçlar. | 12 |
| 5.5 WINE veri seti için sonuçlar. | 12 |
| 5.6 CLEVELAND veri seti için sonuçlar..... | 34 |
| 5.7 LIVER veri seti için sonuçlar | 35 |
| 5.8 IONOSPHERE veri seti için sonuçlar..... | 36 |
| 5.9 BREAST veri seti için sonuçlar | 37 |
| 5.10 DIABETS veri seti için sonuçlar | 38 |
| 5.11 TSP veri seti için sonuçlar | 39 |
| 5.12 PAGE BLOCK veri seti için sonuçlar | 40 |
| 5.13 PENDIGIT veri seti için sonuçlar. | 41 |

1. GİRİŞ

Kümeleme (Clustering) analizi kümeler arasındaki benzerliklere dayanarak ilişkiler topluluğunun organizasyonu problemi ile ilgilidir. Kümelemede amaç, bir veri kümesini, benzer veriler aynı kümede bulunacak şekilde bölümlere ayırmaktır. Bir başka ifadeyle, veri kümelerini doğal grup yada gruplara ayırmaktır. Gözetimsiz (unsupervised) veri sınıflandırması olarak da bilinen kümeleme analizi tıp, ekonomi, bankacılık, mühendislik vb. bir çok alanda önemli uygulamalara sahiptir.

Kümeleme problemlerinin farklı türleri mevcuttur. Bu türlerden birisi olan kesin (Hard) kümeleme yönteminde her bir veri noktası tek bir kümeye aittir. Bulanık (Fuzzy-Soft) kümelemede ise veri elemanları belirli bir üyelik derecesi ile birden fazla kümeye ait olabilir. Üyelik derecesi kavramını Bulanık kümeler teorisi içerisinde yer alıp, 1965 yılında Lütü Zadeh (A. Zadeh., 1965) tarafından önerilmiştir.

Kümeleme problemi aslında bir global optimizasyon problemidir ve böyle bir problem için çok sayıda çözümler bulunmaktadır. Bu çözümlerden global olanları en iyi çözümlerdir ve veri kümeleri için en iyi kümeleme yapısına karşı gelmektedirler. Kümeleme problemini çözmek için çeşitli optimizasyon modelleri ve bu modeller yardımıyla çözüm yöntemleri önerilmiştir. Bu teknikler dinamik programlama, dal ve sınır, düzlem kesme, iç nokta arama metodları, değişken komşuluk arama algoritması, tabu arama, genetik algoritmalar gibi kesin ve yaklaşık çözüm yöntemleridir. Ancak yukarıda belirtilen yöntemler orta büyüklükteki veri setlerinde bile kümeleme problemlerinin çözümü için etkili değildir. Bu sorunu çözmek için daha etkin çözüm yaklaşımlarına ihtiyaç vardır.

Kesin (Hard) ve bulanık (fuzzy) kümeleme problemlerinin çözümü için çeşitli algoritmalar önerilmiş ve bir çok alanda farklı veri kümeleri için uygulanmıştır:

D.N. Georgiou ve arkadaşları 2009 yılında, bulanık kümeleme tekniği ile 20 amino asitin sınıflandırılmasına ait bir çalışma yapmışlardır. Bu çalışmada veriler arasındaki uzaklığı hesaplamak için iki farklı uzaklık fonksiyonu kullanılmıştır:

Minkowski uzaklık fonksiyonu ve NTV uzaklık fonksiyonu. Amino asitlerin çeşitli fiziksel özellikleri veri özellikleri olarak ele alınıp, kümeleme yöntemleri ile bir analiz yapılmıştır (Georgiou et al., 2008).

2005 yılında Keh-Shih Chuang ve arkadaşları kümeleme problemi için geleneksel bulanık c-means algoritmasında kullanılan üyelik fonksiyonunu mekansal fonksiyon değeri yardımıyla tanımlayıp, yeni bir Bulanık c-Ortalamlar (Fuzzy c-Means - FCM) algoritması sundular. Buradaki mekansal fonksiyonun değeri ele alınan her piksel için onun komşuluğundaki üyelik fonksiyon değerlerinin toplamından oluşmaktadır. Yeni yaklaşımın avantajları şu şekilde verilebilir: (1) bu yöntem diğer yöntemlere göre bölgeleri daha homojen ayırır (2) sahte lekeleri azaltıyor (3) gürültülü noktalar ortadan kaldırılıyor ve (4) diğer yöntemlere göre gürültüye daha az duyarlılık gösteriyor (Chuang et al., 2006).

Michael E. Brandt ve arkadaşları 1994 yılında beyin omurilik sıvısı (BOS), beyaz cevher ve beyin transaksial manyetik rezonans görüntülerinden (MRG) gelen gri cevher hacimleri ölçmek için bir algoritma önermişlerdir. Burada kullanılan algoritma doku tanımlama için kullanılan bulanık c-ortalamlar kümeleme yönteminin bir türü olup, bu algoritmanın beyin omurilik sıvısının beklenen artış miktarını ve hidrosefalik beynin beyaz cevher karakteristiğinin beklenen azalış miktarını tespit edebileceği ifade edilmiştir (Brandt et al., 1994).

2005 yılında Antonino Staiano ve arkadaşları RBFNN (Radyal Taban Fonksiyonlu Sinir Ağları) nin gizli birimlerinin merkezlerinin aranması için denetimli bulanık kümeleme yöntemi kullanma fikrini ileri sürmüşlerdir. Bu yöntem RBFNN eğitiminde diğer kümeleme algoritmalarına göre daha iyi performans sağlamaktadır (Staiano et al., 2005).

Fabio Dell'Acqua ve arkadaşları 2001 yılında kentsel ortamlarda havadan sentetik açıklıklı radar (SAR) görüntülerinin analizi için bulanık bir kümeleme yaklaşımı üzerinde çalışmışlardır. Bu çalışmada denetimsiz bulanık kümeleme yaklaşımını kentsel SAR görüntüleri üzerinde uygulayıp, sokak izleme problemleri üzerinde analizler yapmışlardır (Dell'Acqua and Gamba, 2001).

2001 yılında Jar-Ferr Yang ve arkadaşları piksel segmentasyonu için iki adet öz-tabanlı bulanık c-ortalamlar (FCM) kümeleme algoritması önermişlerdir.

Bu yaklaşıma göre özuzay dönüşümü ve FCM yöntemi kombine edilerek renkli görüntü segmentasyonunun daha etkin olması sağlanmıştır. Ayrık Özuzay FCM (Separate Eigenspace FCM) algoritmasında temel ve rezidüel projeksiyonlara iki ara parçalı görüntü elde etmek ve mantıksal ortak piksellerini seçerek onları birleştirmek için bağımsız şekilde FCM yöntemi uygulanmıştır. Simülasyonlar önerilen algoritmaların önemli bir hassasiyetle ve istenilen renk görüntü başarısıyla segmentasyon yapabilme yeteneğine sahip olduğunu göstermiştir (Yang et al., 2001).

Uzay Kaymak ve Magne Setnes 2000 yılında amaç fonksiyonuna dayalı bulanık kümeleme algoritması üzerinde iki yeni fikir önermişlerdir. İlki, prototiplerin (noktaların) boyutlarının kümelenecek verilerden otomatik etkilenen hiper hacimlere genişletilmesi ile ilgili, ikincisi, optimizasyon sırasında kümeler arasındaki benzerliği değerlendirerek kümelerin birleştirilmesi ile ilgili çalışmayı tanıtmışlardır. Çalışmada veri kümesindeki tahmini küme sayısı ile başlayarak, benzer veri kümeleri daha uygun bölünme elde edilmesi için kümelene sırasında birleştirilmeye başlamıştır. Makalede bu birleştirme için bir adaptif eşik tanıtılmıştır. Yukarıda ifade edilen fikirler Gustafson-Kessel ve bulanık c-ortalamlar algoritmalarına uyarlanmış ve elde edilen genişletilmiş algoritmalar sunulmuştur (Kaymak and Setnes, 2000).

2010 yılında T. Velmurugan ve T. Santhanam yoğunluk tabanlı k-means ve temsili nesneye dayalı bulanık c-ortalamlar algoritmalarını ve bunların performansı üzerine çalışmalar yapmışlardır. Her iki algoritmanın davranışlarının veri noktalarının sayısının yanı sıra küme sayısına da bağlı olduğunu göstermişler. Burada girdi veri noktaları normal dağılım ve tekdüze dağılım (Box-Muller formülü) olmak üzere iki yolla oluşturulmuştur. Algoritmanın performansı programın veri girişi noktalarında farklı şekillerde çalıştırılmasıyla incelenmiştir. Her bir algoritma için çalışma süreleri ve çıkan sonuçlar da ayrıca araştırılmıştır (Velmurugan and Santhanam, 2010).

Kümeleme algoritmaları için başlangıç merkez noktalarının seçimi çok önemlidir. Seçilen noktaların yerel minimumlara götürmesi bir problem olup, global çözüme ulaşmak için farklı çözüm yaklaşımlarının incelenmesi önemlidir.

Kesin kümeleme içerisinde son 10-15 yıldır k-ortalamlar algoritmasındaki başlangıç çözüm noktalarının seçimindeki zorlukları aşmayı hedefleyen artımlı (inkremental) algoritmalar ileri sürülmüştür. Artımlı kümeleme algoritmaları her aşamada en iyi şekilde yeni bir küme merkezinin probleme eklenmesi mantığıyla çalışırlar. Global olmayan yöntemlerdeki gibi ilk baştan k sayıda küme merkeziyle hesaplamaya başlamak yerine bu türden algoritmalar (k - 1)-kümeleme problemi için (k - 1) sayıda merkez noktasıyla bir sonraki (k.) merkez noktasının en iyi şekilde hesaplanmasına dayanır.

Aristidis Likas ve arkadaşları 2001 yılında Global k-Ortalamlar (GKM) isimli bir algoritma önermişler. Bu algoritma artımlı bir algoritma olup, k-ortalamlar algoritması yerel en iyi çözümlere takılabiliyorken bu algoritma global minimum yada global minimuma yakın çözümler üretmektedir (Likas A. et al., 2001).

Adil M. Bagirov ve Karim Mardaneh 2006 yılında modifiye edilmiş bir Global k-Ortalamlar algoritması (Modified Global k-Means Algorithm, MGKM) önermişlerdir. Bu artımlı algortmada küme merkezlerinin bulunması için yardımcı bir optimizasyon problemin çözümü gerekmektedir. Sonuçlar göstermiştir ki MGKM algoritması Global k-Ortalamlar algoritmasından daha iyi sonuçlar vermektedir. Çalışmada UCI Veri Ambarı üzerinden alınan veri kümeleri için k-Ortalamlar, Global k-Ortalamlar ve MGKM algoritmaları kıyaslanmıştır.

Sonraki çalışmada, Global k-Ortalamlar algoritmasının bir başka versiyonu önerilip, önerilen yöntemin avantaj ve dezavantajları 14 gerçek veri kümesi üzerinde incelenmiştir (Bagirov, 2008).

Genellikle, gerçek uygulamalarda verilerin kümeleri arasında sınırlar çok keskin şekilde olmuyor, bundan dolayı bulanık kümeleme yöntemleri bu tarzda veriler için daha uygun olmaktadır. Diğer yandan kesin kümeleme yöntemlerinden artımlı olanları optimal ve ya optimal değere yakın sonuç değerleri veriyorlar. Bu tezde bulanık yaklaşımın ve artımlı hesaplamaların avantajlarını kullanarak yeni bir artımlı bulanık kümeleme yöntemi önerilmiştir. Önerilen algortmada amaç fonksiyonunu minimize etmek için bulanık değerlere sahip modifiye edilmiş

Global c-Ortalamlar algoritması kullanılmıştır. Yöntem literatürdeki 13 gerçek veri kümesi üzerinde uygulanıp Bulanık c-Ortalamlar algoritması ile kıyaslanıp, elde edilen sonuçlar ifade edilmiştir.

Bu tez, girişi izleyen 7 bölümden oluşmaktadır.

İkinci bölümde; kümeleme problemi tanıtılıp, problemin matematiksel modelleri incelenmiştir. Bulanık kümeler ve bulanık bölünme hakkında bilgiler verilmiştir.

Üçüncü bölümde; kümeleme problemleri için kesin ve bulanık çözüm yöntemleri incelenip, literatürde yer alan bazı önemli algoritmalar incelenmiştir.

Dördüncü bölümde; modifiye edilmiş bir bulanık global c-means algoritması ifade edilmiştir.

Beşinci bölümde; UCI Veri Ambarından alınan gerçek veri kümeleri üzerinde önerilen yeni algoritma Bulanık c-Ortalamlar algoritması ile kıyaslanmış ve yapılan hesaplama denemelerinin sonuçları verilmiştir.

Altıncı bölümde; kümeleme yapılması için oluşturulan yazılımın özellikleri ve parametreleri hakkında bilgiler verilmiştir.

Yedinci bölüm sonuç bölümüdür.

2. KÜMELEME PROBLEMİNİN MATEMATİKSEL MODELLENMESİ

2.1. Kesin Kümeleme Problemi

Bu bölümde Kümeleme probleminin matematiksel modelleri ifade edilmiştir.

n -boyutlu m noktadan oluşan R^n uzayında sonlu sayıda elemana sahip A kümesini ele alalım:

$$A = \{a^1, \dots, a^m\}, \text{ ve } a^i \in \mathbb{R}^n, \quad i = 1, \dots, m.$$

Buna göre kısıtsız ve tam bölümlmeli kümeleme probleminin amacı, A kümesindeki noktaları, verilen k adet ayrık $A^j, j = 1, \dots, k$ altkümeyle, önceden tanımlanmış aşağıdaki kurallara göre ayırmaktır.

- 1) $A^j \neq \emptyset, j = 1, \dots, k;$
- 2) $A^j \cap A^l = \emptyset, j, l = 1, \dots, k, j \neq l;$
- 3) $A = \bigcup_{j=1}^k A^j;$
- 4) $A^j, j = 1, \dots, k$ kümeleri için bir kısıt bulunmamaktadır.

$A^j, j = 1, \dots, k$ altkümelerine, küme (cluster) adı verilir. Burada oluşacak her bir kümenin boş küme olmaması, hiç bir küme çiftinin ortak bir elemana sahip olmaması, kümelerin birleşiminin veri kümesine eşit olması ve hiç bir küme için bir kısıt bulunmaması kuralları esas alınmaktadır.

Aynı kümeden olan noktalar birbirlerine benzer ve farklı kümeden olan noktalar ise birbirlerinden farklıdır. Veri noktalarının benzerlikleri benzerlik ölçüsü (similarity measure) olarak adlandırılan bir ölçümle tanımlanır. Bu ölçüm incelenen noktanın ait olduğu kümenin merkezine uzaklığı ile tanımlanır.

$d(x, y) : x$ ve y noktaları arasındaki uzaklık olsun. Bu durumda kümeleme problemi aşağıdaki optimizasyon problemine dönüşür:

$$\text{Min: } \psi_k(x, w) = \frac{1}{m} \sum_{i=1}^m \sum_{j=1}^k w_{ij} d(x^j, a^i) \quad (2.1)$$

$$\text{Burada, } x = (x^1, \dots, x^k) \in \mathbb{R}^{n \times k}, \quad (2.2)$$

$$\sum_{j=1}^k w_{ij} = 1, i = 1, \dots, m, \quad (2.3)$$

$$w_{ij} = 0 \text{ veya } 1, i = 1, \dots, m, j = 1, \dots, k \quad (2.4)$$

Burada w_{ij} : a^i örneğinin j kümesine aşağıdaki koşullara göre ait olma ağırlığıdır.

$$w_{ij} = \begin{cases} 1, & \text{eğer } a^i \text{ elemanı } j \text{ kümesine atandıysa,} \\ 0, & \text{aksi halde} \end{cases}$$

$$\text{ve } x^j = \frac{\sum_{i=1}^m w_{ij} a^i}{\sum_{i=1}^m w_{ij}}, j = 1, \dots, k. \quad (2.5)$$

burada w , $m \times k$ boyutlu bir matristir.

$d(x, y)$ uzaklığı farklı normlarla tanımlanabilir. Bu çalışmada aşağıdaki şekilde tanımlanan Öklid normu kullanılmıştır:

$$d(x, y) = (\sum_{i=1}^n |x_i - y_i|^2)^{1/2} \quad (2.6)$$

(2.1)-(2.4) problemi kümeleme probleminin karma tamsayılı doğrusal olmayan programlama modelidir. (2.1)-(2.4) deki kümeleme probleminin Pürüzlü Dışbükey olmayan (Nonsmooth Nonconvex) formülasyonu ise aşağıdaki şekilde verilebilir: (Bagirov vd., 2002; Bagirov vd.,2003; Bock, 1998))

$$\text{Min: } f_k(x^1, \dots, x^k) = \frac{1}{m} \sum_{i=1}^m \min_{j=1, \dots, k} d(x^j, a^i). \quad (2.7)$$

$$(x^1, \dots, x^k) \in \mathbb{R}^{n \times k}, \quad (2.8)$$

Hem ψ_k hem de f_k fonksiyonları küme (cluster) fonksiyonları olarak adlandırılır. Yukarıda ifade edilen model ile (2.1)-(2.4) denklemlerinde ifade edilen model kıyaslandığında:

1. ψ_k amaç fonksiyonu, w_{ij} , $i = 1, \dots, m$, $j = 1, \dots, k$ (0 veya 1 olan katsayılar) ve x^1, x^2, \dots, x^k , $x^j \in \mathbb{R}^n$, $j = 1, \dots, k$ (sürekli değişkenler olan küme merkezleri) değişkenlerine bağlıdır. Diğer yandan f_k fonksiyonu yalnızca x^1, x^2, \dots, x^k değişkenlerine bağlıdır. Buna dayanarak her iki fonksiyonun dışbükey olmadığını söyleyebiliriz.
2. (2.1)-(2.4) problemindeki değişkenlerin sayısı $(m + n) * k$ iken (2.7)-(2.8) probleminde bu sayı sadece $n * k$ dır ve dolayısıyla değişken sayısı veri sayısına bağlı değildir. Dikkat edilmelidir ki, gerçek hayattaki veri kümelerinde verilerin sayısı olan m , özelliklerin sayısı olan n değerinden çok daha büyüktür.
3. (2.1)-(2.4) ve (2.7)-(2.8) problemleri global enküçükleyicilerinin aynı olması anlamında birbirlerine denktirler. (2.1)-(2.4) modeli üzerinde kullanılan k -ortalamalara karşın (2.7)-(2.8) modeli üzerinde kullanılan global k -ortalamalar algoritması global optimum yada global optimuma yakın sonuçlar vermektedir.

2.2. Bulanık Kümeler ve Bulanık Bölümleme

Bulanık kümeler kendi başlangıcını Azerbaycan kökenli Amerika bilim adamı olan L.Zadeh tarafından 1965 yılında yayınlanmış bir çalışmadan almaktadır (A. Zadeh., 1965). Her hangi bir küme değildiğinde, genellikle, belirli bir özelliği sağlayan elemanlar kümesi anlaşılmaktadır. Belli ki, hayatta elemanlar bu özelliği çoğu zaman tam olarak değil, belirli bir düzeyde sağlayabiliyorlar. Bu halde eleman kümeye tam olarak değil, özelliği sağladığı kadar ait olacaktır. Klasik matematikte bu gibi durumlar modellenemiyor, yani elemanlar bir kümeye

ya ait olur, ya da ait olmazlar. Fakat bulanık mantık ve bulanık kümeler teorisi bu gibi durumları modellemek için geniş imkanlar sağlamaktadır.

Matematiksel olarak bulanık $A \subset X$ kümesi (bazen altküme de denilir) aşağıdaki gibi tanımlanır:

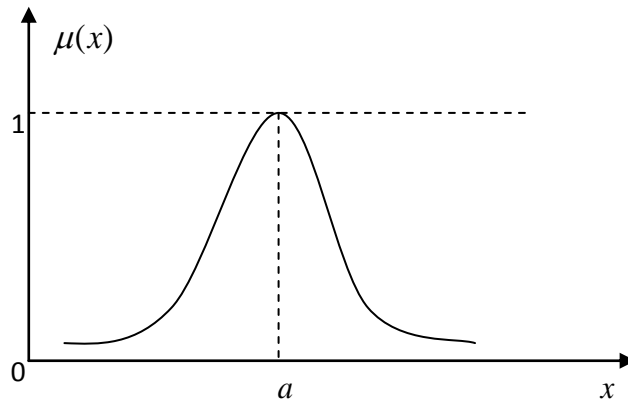
$$A = \{(x, \mu_A(x)) \mid x \in X\}. \quad (2.9)$$

Burada X - evrensel küme, $\mu_A(x)$ ise $x \in X$ elemanın bulanık A kümesine üyelik derecesidir. Her bir bulanık A kümesine sadece bir $\mu_A : X \rightarrow [0,1]$ üyelik fonksiyonu uygun olur. Bununla, her hangi bir kümenin tanımlanması o kümenin üyelik fonksiyonunun da tanımlanması anlamına geliyor. Örneğin, eğer bulanık A kümesi $\{a,b,c,d,e\}$ elemanlarından oluşmuşsa ve bu elemanların kümeye üyelik dereceleri uygun olarak $\{0.2,0.7,1.0,0.6,0.9\}$ ise, bu zaman bulanık küme aşağıdaki yazılışların biriyle tanımlana bilinir:

$$A = \{(a \mid 0.2), (b \mid 0.7), (c \mid 1), (d \mid 0.6), (e \mid 0.9)\}$$

veya

$$A = 0.2 \mid a + 0.7 \mid b + 1 \mid c + 0.6 \mid d + 0.9 \mid e.$$



Şekil 2.1. Üyelik fonksiyonu (2.10) formülü olan bulanık küme.

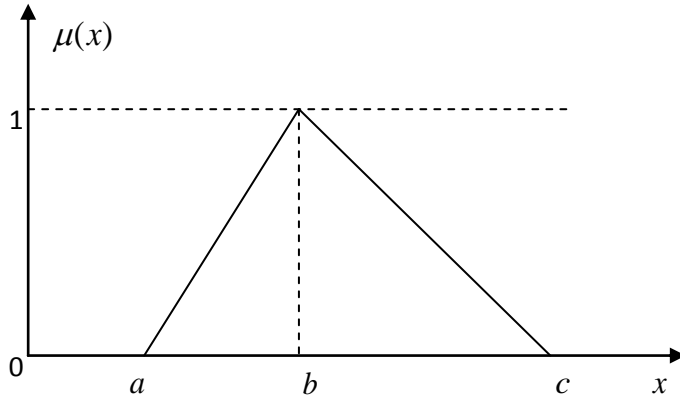
Bulanık kümelerin üyelik fonksiyonlarının formül şeklinde tanımlanmasına örnek olarak aşağıdakiler verilebilir (Şekil 2.1 ve 2.2):

$$\mu_A(x) = e^{-(x-a)^2}, \quad (2.10)$$

veya

$$\mu_A(x) = \begin{cases} \frac{x-a}{b-a}, & x \in [a, b] \text{ } \textit{oldukta}, \\ \frac{c-x}{c-b}, & x \in [b, c] \text{ } \textit{oldukta}, \\ 0, & x \notin [a, c] \text{ } \textit{oldukta}. \end{cases} \quad (2.11)$$

Görüldüğü gibi, üyelik fonksiyonu verilmiş kümede herhangi bir elemanın üyelik derecesini, o elemanı üyelik fonksiyonu içerisinde ilgili yerine tanımlamakla hesaplamak mümkündür.



Şekil 2.2. Üyelik fonksiyonu (2.11) formülü olan bulanık küme.

Bulanık kümelerle ilgili bazı kavramlar aşağıdaki şekildedir:

Her hangi $\alpha \in [0,1]$ için bulanık A kümesinin α -seviye kümesi:

$$A_\alpha = \{x \in X \mid \mu_A(x) \geq \alpha\} \quad (2.12)$$

Hatırlatalım ki, α -seviye kümesi artık bulanık değil, klasik (kesin) bir kümedir.

A kümesinin güçlü α -seviye kümesi:

$$A_\alpha^s = \{x \in X \mid \mu_A(x) > \alpha\} \quad (2.13)$$

Çözünülme (resolution) prensipine göre her bir bulanık küme kendi α -seviye kümeleri aracılığıyla sadece ve sadece bir şekilde aşağıdaki gibi verilebilir:

$$A = \bigcup_{\alpha \in [0,1]} (\alpha, A_\alpha). \quad (2.14)$$

Bulanık A kümesinin geçiş noktaları dendiğinde geçit $\mu_A(x) = 0.5$ koşulunu sağlayan noktalar anlaşılmaktadır.

Bulanık A kümesine en yakın klasik A^* kümesi aşağıdaki gibi tanımlanır:

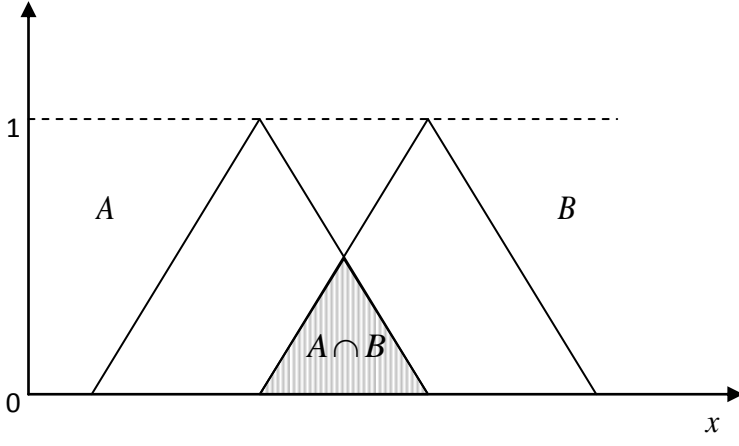
$$\mu_{A^*}(x) = \begin{cases} 0, & \mu_A(x) < 0.5 \text{ } \textit{oldukta,} \\ 1, & \mu_A(x) > 0.5 \text{ } \textit{oldukta,} \\ 0 \text{ veya } 1, & \textit{diger durumlarda} \end{cases}$$

Klasik küme işlemlerinin bulanık kümeler haline aşağıdaki genişlemeleri mevcuttur:

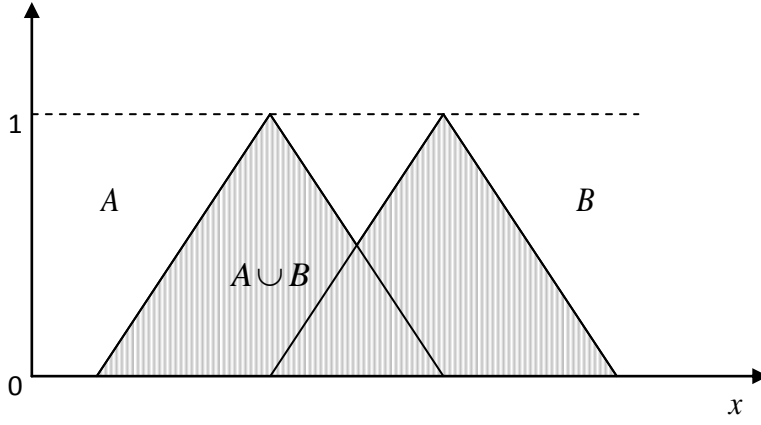
$$C = A \cap B \Rightarrow \mu_C(x) = \min(\mu_A(x), \mu_B(x)), \quad \forall x \in X;$$

$$C = A \cup B \Rightarrow \mu_C(x) = \max(\mu_A(x), \mu_B(x)), \quad \forall x \in X;$$

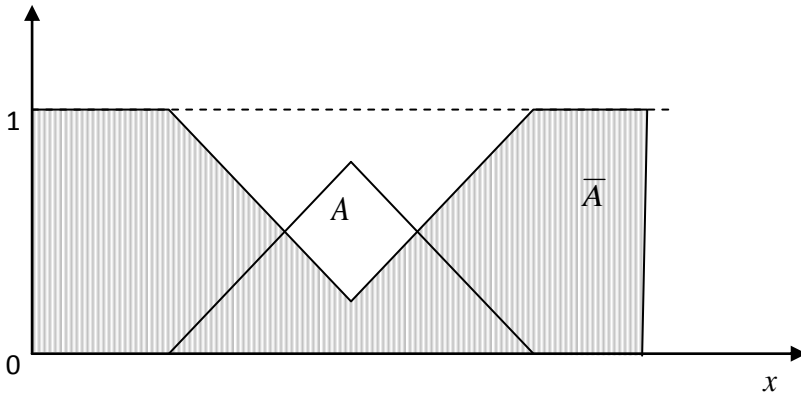
$$C = \bar{A} \Rightarrow \mu_C(x) = 1 - \mu_A(x), \quad \forall x \in X.$$



Şekil 2.3. Bulanık kümelerin kesişmesi.



Şekil 2.4. Bulanık kümelerin birleşmesi.



Şekil 2.5. Bulanık kümenin değil'i.

Bulanık boş küme ve evrensel küme kavramları uygun olarak aşağıdaki gibi tanımlanır:

$$\mu_{\emptyset}(x) = 0, \forall x \in X,$$

$$\mu_X(x) = 1, \forall x \in X$$

Bulanık A ve B kümeleri arasında $A \subseteq B$ aitlik ilişkisi aşağıdaki gibi tanımlanır:

$$A \subseteq B \Rightarrow \mu_A(x) \leq \mu_B(x), \forall x \in X$$

Bulanık kümeler için De Morgan kuralları sağlanır, yani herhangi bulanık A ve B kümeleri için:

$$\overline{A \cap B} = \bar{A} \cup \bar{B},$$

$$\overline{A \cup B} = \bar{A} \cap \bar{B}.$$

Fakat bulanık kümelerde klasik kümelerden farklı olarak

$$A \cup \bar{A} \neq X,$$

$$A \cap \bar{A} \neq \emptyset,$$

olması mümkündür.

Bulanık Bölümleme

n -boyutlu m noktadan oluşan R^n uzayında sonlu sayıda elemana sahip A kümesini ele alalım:

$$A = \{a^1, \dots, a^m\}, \text{ ve } a^i \in \mathbb{R}^n, \quad i = 1, \dots, m.$$

A kümesinin bulanık bölünmesi dendiğinde, onun noktalarını aşağıdaki koşulları sağlayan k adet A^j , $j = 1, \dots, k$ altkümeye ayrılması anlaşılır:

$$1) \quad \max_i u_{ij} > 0, \quad j = 1, \dots, k;$$

$$2) \quad \sum_{j=1}^k u_{ij} = 1, \quad i = 1, \dots, m;$$

burada u_{ij} ; a^i elemanın A^j kümesine aitlik derecesini gösterir. İkinci kısıta normallik kısıtı denir. Görüldüğü gibi, bulanık bölümlerde A^j , $j = 1, \dots, k$ kümelerinin ayrık olması yerine normallik kısıtını sağlaması gerekmektedir.

3. KÜMELEME PROBLEMİ İÇİN KESİN VE BULANIK ÇÖZÜM ALGORİTMALARI

Bölümlemeli kümeleme yöntemleri genellikle sık kullanılan ve geniş uygulama alanına sahip yöntemlerdir. n nesneden oluşan bir veri kümesi verildiğinde, bölümlemeli kümeleme algoritması verinin k -bölünmesini oluşturur. Burada her bir kümenin, belirli bir kümeleme kriterini sağlaması istenmektedir. Küme içerisindeki noktaların, orta noktadan uzaklıklarının kareler toplamının minimizasyonu, kümeleme kriterine örnek olarak verilebilir.

Kümeleme literatürde birçok araştırmacı tarafından incelenmiştir (Höppner et al., 1999). Bu bölümde kesin kümeleme yöntemleri içerisinde yer alan yöntemlerden k -ortalamlar (James MacQueen, 1967), global k -ortalamlar (Aristidis Likas ve arkadaşları, 2001) ve modifiye edilmiş global k -ortalamlar (Bagirov vd.,2003; Bock, 1998) yöntemleri ile bulanık kümeleme içerisinde yer alan bulanık c -ortalamlar algoritması (Dunn, 1973; Bezdek, 1981) incelenmiştir.

3.1. k -Ortalamlar algoritması

Kesin (hard) kümeleme için en çok kullanılan algoritmalardan biri k -Ortalamlar algoritmasıdır. Bu algoritma aşağıdaki şekilde ifade edilebilir:

Algoritma 1 (k-Ortalamlar algoritması):

Adım 1: k adet merkez içeren (merkezlerin A kümesine ait olması gerekmez) bir başlangıç çözümü seçilir.

Adım 2: A kümesindeki verilerin herbiri, seçilen k adet merkez gözönüne alınarak en yakın merkezli kümeye atanır.

Adım 3: Adım 2 deki kümeleme gözönüne alınarak, her bir kümenin yeni merkezleri hesaplanır ve hiçbir veri, kümesini değiştirmeyinceye kadar adım 2 ye dönlür.

Bu algoritma, bahsedilen başlangıç noktalarının seçimine oldukça duyarlıdır ve büyük veri kümeleri için, bu başlangıç noktalarına bağlı olarak, global çözümden oldukça farklı yerel çözümler bulabilmektedir.

3.2. Global k-Ortalamlar algoritması

2001 yılında Likas ve arkadaşları tarafından sunulan Global k-Ortalamlar algoritması ise artımlı bir kümeleme algoritmasıdır ve $k \leq m$ için aşağıdaki şekilde ifade edilir:

Algoritma 2 (Global k-Ortalamlar Algoritması):

Adım 1 (Başlangıç): A kümesinin x^1 merkezi aşağıdaki şekilde hesaplanır:

$$x^1 = \frac{1}{m} \sum_{i=1}^m a^i, \quad a^i \in A, \quad i = 1, \dots, m$$

ve $q = 1$ alınır.

Adım 2 (Durma Kriteri): $q = q + 1$. Eğer $q > k$ ise durulur.

Adım 3: x^1, x^2, \dots, x^{q-1} merkezleri önceki iterasyondan alınır ve A kümesindeki her bir a elemanı q . küme merkezi için bir başlangıç noktası olarak ele alınır. Buna göre (x^1, \dots, x^{q-1}, a) şeklinde q boyutlu, m adet başlangıç çözümleri oluşturularak bunların her biri için k-ortalamlar algoritması uygulanır ve elde edilen en iyi kümeleme ile bu kümelemeye karşılık gelen merkezler saklanır (y^1, y^2, \dots, y^q) .

Adım 4: $x^i = y^i, \quad i = 1, \dots, q$ ataması yapılır ve adım 2 ye gidilir.

Global k-Ortalamlar algoritması, global en iyiyi yada globale yakın çözümleri bulabilmesi sebebiyle, k-Ortalamlar algoritmasından, pozitif anlamda farklılaşmaktadır. Gerçek hayat uygulamalarında, verideki doğal gruplamayı

ortaya çıkarabilecek olan en uygun k değerinin bilinmesi, genellikle mümkün olamasa da, çalışılan alanda uzmanlaşmış kişilerin tecrübeleri bu değer belirlenmesinde kullanılmaktadır. Fakat Global k - Ortalamalar yönteminin doğası gereği, k değerinin baştan belirlenmesi gerekli değildir; çünkü artımlı bir algoritma söz konusudur. Bu algortmada amaç, kümeleme problemlerine, her aşamada en iyi olan, yeni bir küme merkezini eklemektir. Veri kümesinin k -bölünmesini hesaplamak için, $(k - 1)$ -kümeleme problemindeki, $k - 1$ merkezli başlangıç durumundan yola çıkılarak, k . merkez için en uygun noktayı seçmek amaç edinilir. (Bagirov ve Yearwood, 2006; Hansen vd., 2002).

3.3. Modifiye Edilmiş Global k -Ortalamlar Algoritması

Yukarıda adı geçen her iki yöntem de küçük ve orta boyutlu veri kümeleri için uygulanabilmektedir (Vanisri and Loganathan, 2010). Global k -Ortalamlar algoritması için, başlangıç noktalarının seçimi, global çözüme yakınsayabilme anlamında çok önemlidir. Böyle bir yaklaşım en azından yakın bir global enküçükleyiciye ulaşır. Bu yöntem k -ortalamlara göre eniyiye ulaşmada daha iyi olmakla birlikte, hesaplama zamanı açısından daha fazla hesaplama zamanı gerektirmektedir (k -Ortalamlar algoritması m defa uygulandığından). Bu algoritmanın bir başka versiyonu daha da iyi çözümler bulabilmek için, Bagirov tarafından geliştirilmiştir. Önerilen yöntemde, çözüm için iyi başlangıç noktalarının seçilmesi fikri esas alınmaktadır (Bagirov, 2008).

Algoritma 3 (Modifiye Edilmiş Global k -Ortalamlar Algoritması):

Adım 1: (Başlangıç) $\varepsilon > 0$ olacak şekilde bir hata toleransı seçilir. A kümesinin merkezi $x^1 \in \mathbb{R}^n$ hesaplanır. f^1 e, (2.7)-(2.8) deki amaç fonksiyonunun karşılık gelen değeri atanır ve $k = 1$ atanır.

Adım 2: (Bir sonraki küme merkezinin hesaplanması). $k = k + 1$ ataması yapılır. $(k - 1)$ -bölünmeli problem için başlangıç küme merkezleri x^1, \dots, x^{k-1}

olmak üzere. k . kümenin merkezi için bir başlangıç noktası ($\bar{y} \in \mathbb{R}^n$) bulmak adına *Algoritma 4* uygulanır.

Adım 3: (Tüm küme merkezlerinin düzeltilmesi) $(x^1, \dots, x^{k-1}, \bar{y})$ yeni bir başlangıç noktası olarak seçilir, k -kümeleme problemi için k -Ortalamalar algoritması uygulanır. y^1, \dots, y^k bu problemin bir çözümü ve bu çözüme karşılık gelen (7)-(8) deki amaç fonksiyonunun değeri f^k ya atanır.

Adım 4: (Durma kriteri) $\frac{f^{k-1} - f^k}{f^1} < \varepsilon$ ise durulur, değilse $x^i = y^i$, $i = 1, \dots, k$ ataması yapılır ve Adım 2 ye dönülür.

Açıktır ki burada her $k > 1$ için $f^k \geq 0$ dır ve $\{f^k\}$ dizisi azalandır, yani her $k > 1$ değeri için, $f^{k+1} \leq f^k$ dır.

Bu demektir ki Adım 4 teki durdurma kriteri, sonlu iterasyonlar sonrasında sağlanacaktır. Dolayısıyla *Algoritma 3*, $\varepsilon > 0$ toleransına bağlı olarak, A kümesi ne kadar küme içeriyorsa hepsini hesaplayacaktır.

$\varepsilon > 0$ toleransının seçimi, *Algoritma 3* için önem taşımaktadır. ε un büyük değerleri, büyük kümeler oluşturarak sonuç verecek; ε un küçük değerleri ise, yapay (artificial) kümeler üretecektir. ε için tavsiye edilen değer aralığı $\varepsilon \in [0.01, 0.1]$ dir (Bagirov, 2008).

3.4. Başlangıç Küme Merkezleri Bulmak Algoritması

Algoritma 3 için iyi başlangıç küme merkezlerinin seçimini sağlayan *Algoritma 4* bu algoritmanın en önemli parçasıdır.

Varsayalım ki, $k > 1$ ve $(k - 1)$ bölünme problemi için (x^1, \dots, x^{k-1}) küme merkezleri biliniyor. k -bölünme problemi için aşağıdaki fonksiyon tanımlanabilir

$$\bar{f}_k(y) = \frac{1}{m} \sum_{i=1}^m \min \{d_{k-1}^i, \|y - a^i\|^2\} \quad (3.1)$$

Burada $y \in R^n$, k . kümenin merkezi ve d_{k-1}^i de $(k-1)$ -bölünme problemindeki i . elemanın, kendisine en yakın merkeze olan uzaklığı olarak tanımlansın. \bar{f}_k fonksiyonu, yardımcı kümeleme fonksiyonu olarak isimlendirilmektedir. Bu fonksiyon sadece y değişkene bağlı olup, aşağıdaki şekilde ifade edilebilir.

$$\bar{f}_k(y) = f_k(x^1, \dots, x^{k-1}, y) \quad (3.2)$$

Her bir $a \in A^i$ veri noktası için, aşağıdaki φ fonksiyonunu ele alalım

$$\varphi_{ik}(y) = \min \{d_{k-1}^i, \|y - a^i\|^2\} \quad (3.3)$$

Bu fonksiyon sabitlerin minimumu olarak tanımlanır ve quadratik bir fonksiyondur. Eğer a^i veri noktası bir küme merkezi ise o zaman $d_{k-1}^i = 0$ ve $\varphi_{ik}(y) = 0$ olacaktır. Aksi durumda ise

$$\varphi_{ik}(y) = \begin{cases} \|y - a^i\|^2 & , \|y - a^i\|^2 < d_{k-1}^i \\ d_{k-1}^i & , \|y - a^i\|^2 \geq d_{k-1}^i \end{cases} \quad (3.4)$$

$k < m$ için açıktır ki, $\varphi_{ik}(y) > 0$ olur (bazı $a^i \in A$ ve $y \in R^n$ için) ve her $y \in R^n$ için $\bar{f}_k(y) > 0$ dir. Bir minimum fonksiyonu olarak, φ_{ik} pürüzlü (nonsmooth) ve dışbükey olmayan (nonconvex) bir fonksiyondur. Bu fonksiyon $\|y - a^i\|^2 = d_{k-1}^i$ eşitliğini sağlayan $y \in R^n$ noktalarında diferansiyallenebilir değildir. Dolayısıyla \bar{f}_k fonksiyonu da pürüzlüdür ve dışbükey değildir. Bu fonksiyonun diferansiyallenemeyen olduğu noktaları içeren küme, φ_{ik} fonksiyonunun diferansiyallenemeyen olduğu kümelerin birleşimi olarak ifade edilebilir.

\bar{f}_{k-1} fonksiyonunun minimum değeri olan f_{k-1}^* aşağıdaki şekilde ifade edilir:

$$f_{k-1}^* = \frac{1}{m} \sum_{i=1}^m d_{k-1}^i \quad (3.5)$$

Eğer $a^j \in A$ veri noktası bir küme merkezi değilse, o zaman

$$f_k(x^1, \dots, x^{k-1}, a^j) = \frac{1}{m} \sum_{i=1}^m \min \{d_{k-1}^i, \|a^j - a^i\|^2\} \quad (3.6)$$

Bu noktada, $a^j \in A$ verildiğinde aşağıda belirtilen iki indis kümesini ele alalım:

$$I_1 = \{i \in \{1, \dots, m\} : \|a^j - a^i\|^2 \geq d_{k-1}^i\}, \quad (3.7)$$

$$I_2 = \{i \in \{1, \dots, m\} : \|a^j - a^i\|^2 < d_{k-1}^i\} \quad (3.8)$$

Bu notasyon kullanılarak b_j aşağıdaki şekilde yeniden yazılabilir

$$b_j = \sum_{i \in I_2} (d_{k-1}^i - \|a^j - a^i\|^2) \quad (3.9)$$

O halde,

$$\bar{f}_k(a^j) = f_k(x^1, \dots, x^{k-1}, a^j) = \frac{1}{m} \left(\sum_{i \in I_1} d_{k-1}^i + \sum_{i \in I_2} \|a^j - a^i\|^2 \right) \quad (3.10)$$

ve dolayısıyla

$$f_{k-1}(x^1, \dots, x^{k-1}) - f_k(x^1, \dots, x^{k-1}, a^j) = \sum_{i \in I_2} (d_{k-1}^i - \|a^j - a^i\|^2) = b_j \quad (3.11)$$

Bu demektir ki, eğer k . kümenin merkezine bir başlangıç noktası olarak a^j seçilirse, o zaman f_{k-1} fonksiyonunun optimal değeri $b_j \geq 0$ kadar azaltılabilir. Dolayısıyla k . kümenin merkezi için bir başlangıç noktası olarak, en büyük b_j değerine sahip olan veri noktasını seçmemiz mantıklı olacaktır.

Şimdi aşağıdaki kümeyi ele alalım

$$\bar{D} = \{y \in R^n: \|y - a^i\|^2 \geq d_{k-1}^i\}. \quad (3.12)$$

\bar{D} kümesi, kendi elemanı olan herhangi bir y noktası ile herhangi bir $a^i \in A$ veri noktası arasındaki uzaklığın; a^i veri noktası ile bu veri noktasının kendi küme merkezine olan uzaklığından daha küçük olmadığı bir kümedir. Ayrıca aşağıdaki kümeyi de ele alalım:

$$D_0 = R^n \setminus \bar{D} \equiv \{y \in R^n: \exists I \subset \{1, \dots, m\}, I \neq \emptyset: \|y - a^i\| < d_{k-1}^i, \forall i \in I\} \quad (3.13)$$

Aşağıdaki denklem göz önüne alınacak olursa

$$\bar{f}_k(y) = d_0 \equiv \frac{1}{m} \sum_{i=1}^m d_{k-1}^i, \quad \forall y \in \bar{D} \quad (3.14)$$

Açıktır ki, burada her $j = 1, \dots, k-1$ değeri için $x^j \in \bar{D}$ ve her $a^i \in A$ elemanı için $a^i \in D_0$, $a^i \neq x^j$, $j = 1, \dots, k-1$ dir. Ayrıca açıktır ki her $y \in D_0$ için $\bar{f}_k(y) < d_0$ dir.

k . kümenin merkezi için bir aday başlangıç noktası olarak herhangi bir $y \in D_0$ seçilebilir. \bar{f}_k fonksiyonu pek çok lokal minimuma sahip olan dışbükey olmayan bir fonksiyondur ve bu fonksiyonun global enküçükleyicisi, k . kümenin merkezi için bir başlangıç noktası olmaya en iyi adaydır. Fakat \bar{f}_k 'nin global enküçükleyicisini, polinom zamanda bulabilmek, her zaman mümkün değildir. Bu nedenle, \bar{f}_k fonksiyonunun bir lokal enküçükleyicisini bulmak için bir algoritma önerilmiştir.

Her $y \in D_0$ için aşağıdaki kümeler ele alınsın

$$S_1(y) = \{a^i \in A: \|y - a^i\| = d_{k-1}^i\}. \quad (3.15)$$

$$S_2(y) = \{a^i \in A: \|y - a^i\| < d_{k-1}^i\}. \quad (3.16)$$

$$S_3(y) = \{a^i \in A: \|y - a^i\| > d_{k-1}^i\}. \quad (3.17)$$

Her $y \in D_0$ için $S_2(y) \neq \emptyset$.

Aşağıdaki algoritma k . kümenin merkezi için bir başlangıç noktası bulmak için önerilmiştir.

Algoritma 4, (Başlangıç noktası bulmak için bir algoritma):

Adım 1: Her bir $a^i \in D_0 \cap A$ için $S_2(a^i)$ kümesi; bu kümenin merkezi olan c^i ; ve \bar{f}_k fonksiyonunun c^i deki değeri olan $\bar{f}_{k,a^i} = \bar{f}_k(c^i)$ hesaplanır.

Adım 2:
$$\bar{f}_{k,min} = \min_{a^i \in D_0 \cap A} \bar{f}_{k,a^i}, \quad (3.18)$$

$$a^j = \arg \min_{a^i \in D_0 \cap A} \bar{f}_{k,a^i}, \quad (3.19)$$

ve karşılık gelen c^j merkezi ile $S_2(c^j)$ kümesi bulunur.

Adım 3: $S_2(c^j)$ kümesi ve bu kümenin merkezi, bu kümeden hiçbir veri noktası ayrılmayınca veya bu kümeye hiçbir veri noktası geri dönmeyinceye kadar Adım 2 ve 3 yeniden hesaplanır.

3.5. Bulanık c-Ortalamlar algoritması

Kesin-kısıtsız tam bölümlü kümeleme problemi gibi bulanık-kısıtsız tam bölümlü kümeleme probleminde de A kümesindeki noktaların k sayıda S_1 ($l = 1, \dots, k$) kümesine ayrılması amaçlanmıştır. Buradaki fark veri noktalarının her küme için üyelik derecelerine sahip olmalarıdır. Bu bir noktanın birden fazla kümeye farklı üyelik dereceleriyle ait olması demektir.

Bulanık kümeleme mantığı kümeler arasında kesin sınırlar olmaması sebebiyle gerçek hayat uygulamalarına daha uygundur. Bulanık kümelemede sıfırla bir arasında olan üyelik derecesi gerçek uygulamalarda noktanın bir

kümeye net atanması yerine kullanılıyor. Bu yöntem 1973 yılında Dunn tarafından oluşturulmuş, 1981 yılında Bezdek tarafından daha da geliştirilmiştir.

Bulanık kümelemede amaç fonksiyonu aşağıdaki şekilde verilebilir:

$$J_m = \sum_{i=1}^N \sum_{j=1}^C u_{ij}^m \|x_i - c_j\|^2, \quad 1 \leq m < \infty \quad (3.20)$$

Burada u_{ij} ; x_i noktasının j kümesine üyelik değeridir, x_i ; d - boyutlu veri kümesinin i -nci elemanıdır. c_j ; j kümesinin d - boyuta sahip merkez noktası ve $\| * \|$ ise herhangi veri noktasıyla merkez noktası arasında benzerliğin normal ifadesidir. Bulanık kümeleme aşağıda belirtilen amaç fonksiyonunun u_{ij} üyelik değerlerinin ve c_j merkezlerinin güncellenmesiyle iterasyonel optimizasyon yapılarak gerçekleştirilir:

$$U_{ij} = \frac{1}{\sum_{k=1}^C \left(\frac{\|x_i - c_j\|}{\|x_i - c_k\|} \right)^{\frac{2}{m-1}}} \quad (3.21)$$

$$C_j = \frac{\sum_{i=1}^N u_{ij}^m \cdot x_i}{\sum_{i=1}^N u_{ij}^m} \quad (3.22)$$

Bu iterasyon $\max_{ij} \{ |u_{ij}^{(k-1)} - u_{ij}^{(k)}| \} < \xi$ eşitsizliği sağlanınca sonlandırılır. Burada ξ ; 0 ile 1 arasında durma kriteri, k ise iterasyon sayısıdır. Bu prosedür yerel minimuma ve ya J_m noktasına yakınsar.

Algoritma adımları aşağıdaki gibidir:

Algoritma 5 (Bulanık c-Ortalamalar Algoritması):

Adım 1. $U^{(0)} = [u_{ij}]$ matrisi tanımlanır, $k = 0$ atanır;

Adım 2. k .ci iterasyonda $C^{(k)} = [c_{ij}]$ merkez vektörleri $U^{(k)}$ yardımıyla hesaplanır

$$C_j^{(k)} = \frac{\sum_{i=1}^N u_{ij}^m \cdot x_i}{\sum_{i=1}^N u_{ij}^m}$$

Adım 3. $U^{(k)}$ güncellenir:

$$U_{ij}^{(k)} = \frac{1}{\sum_{k=1}^c \left(\frac{\|x_i - c_j\|}{\|x_i - c_k\|} \right)^{\frac{2}{m-1}}}$$

Adım 4. Eğer $\|U^{(k+1)} - U^{(k)}\| < \xi$ ise durulur, aksi halde $k = k + 1$ atanır ve Adım 2'ye gidilir.

Bulanık üyelik değeri 1 (doğru, nokta kümeye aittir) ye va 0 (yanlış, nokta kümeye ait değil) değerleri yerine, (3.21) eşitliğinde u_{ij} ağırlık değeri kümeye kısmi üyeliği temsil eder. Bu kısmi ağırlık bulanık ağırlık olarak adlandırılır. Bulanık ağırlıkları üretmek için farklı yollar vardır. Bu yollardan bir tanesi aşağıdaki şekilde hesaplanır (A. Zadeh., 1965):

$$u_{ij} = \frac{1}{D_{ij}}, (u_{ij} = 1 \text{ eğer } D_{ij} = 0) \quad (3.23)$$

Öznelik vektörüyle veri örneğinin arasındaki mesafe büyükse, ağırlık değeri küçüktür. Diğer taraftan mesafe küçüldükçe ağırlık değeri de artmış olur.

Yukarıda ifade edilen kesin artımlı ve bulanık modeller gözönüne alınarak bu çalışmada iki farklı kümeleme türünün olumlu yönleri yeni bir algoritmada birleştirilmiştir.

4. MODİFİYE EDİLMİŞ BULANIK GLOBAL KÜMELEME ALGORİTMASI

4.1. Modifiye Edilmiş Bulanık Global c-Ortalamlar Algoritması

Bu bölümde kümeleme probleminin çözümü için artımlı bulanık bir global kümeleme algoritması sunulmuştur. Bulanık değişkenlere sahip artımlı kümeleme algoritması kümeleri dinamik şekilde her seferinde yeni bir küme merkezi ekleyerek oluşturmaktadır. A veri kümesinin k-bölümünün bulunması için artımlı kümeleme algoritması aşağıdaki şekilde verilebilir:

Algoritma 6 (Modifiye Edilmiş Bulanık Global c-Ortalamlar Algoritması - FGMCM):

Adım 1: (Başlangıç) $\varepsilon > 0$ olacak şekilde bir hata toleransı seçilir. A kümesinin merkezi $x^1 \in \mathbb{R}^n$ hesaplanır. $U_{i1} = 1, i = 1, \dots, m$. f^1 e, (3.20) deki amaç fonksiyonunun karşılık gelen değeri ve $k = 1$ atanır.

Adım 2: (Bir sonraki küme merkezinin hesaplanması). $k = k + 1$ ataması yapılır. $(k - 1)$ -bölümlü problem için küme merkezleri x^1, \dots, x^{k-1} olmak üzere. k . kümenin merkezi için bir başlangıç noktası $(\bar{y} \in \mathbb{R}^n)$ bulmak adına *Algoritma 7* uygulanır.

Adım 3: (Tüm küme merkezlerinin düzeltilmesi) $(x^1, \dots, x^{k-1}, \bar{y})$ yeni bir başlangıç noktası olarak seçilir, k -kümeleme problemi için Bulanık c-Ortalamlar algoritması uygulanır. y^1, \dots, y^k bu problemin bir çözümü ve bu çözüme karşılık gelen (2.7)-(2.8) deki amaç fonksiyonunun değeri f^k ya atanır.

Adım 4: (Durma kriteri) $\frac{f^{k-1}-f^k}{f^1} < \varepsilon$ ise durulur, değilse $x^i = y^i$, $i = 1, \dots, k$ ataması yapılır ve Adım 2 ye dönülür.

Açıktır ki, burada her $k > 1$ için $f^k \geq 0$ dır ve $\{f^k\}$ dizisi azalandır, yani her $k > 1$ değeri için, $f^{k+1} \leq f^k$ dır.

Bu demektir ki, Adım 4 teki durdurma kriteri, sonlu iterasyonlar sonrasında sağlanacaktır. Dolayısıyla Algoritma 6, $\varepsilon > 0$ toleransına bağlı olarak, A kümesi ne kadar küme içeriyorsa hepsini hesaplayacaktır.

$\varepsilon > 0$ toleransının seçimi, Algoritma 6 için önem taşımaktadır. ε un büyük değerleri, büyük kümeler halinde görünüm ile sonuç verecek; ε un küçük değerleri ise, yapay (artificial) kümeler üretecektir. ε için tavsiye edilen değer aralığı $\varepsilon \in [0.01, 0.1]$ dir (Bagirov, 2008).

4.2. Bulanık Kümelemede Başlangıç Küme Merkezlerinin Bulunması

Algoritma 6 için doğru başlangıç noktalarının seçimini sağlayan Algoritma 7 önem taşımaktadır.

Algoritma 7 (Bulanık kümeleme problemi için başlangıç noktası bulunması):

Adım 1: Her bir $a^i \in D_0 \cap A$ için $S_2(a^i)$ kümesi; bu kümenin merkezi olan c^i ; ve \tilde{f}_k fonksiyonunun c^i deki değeri olan $\tilde{f}_{k,a^i} = \tilde{f}_k(c^i)$ (3.20) e göre hesaplanıyor.

$$\mathbf{Adım 2:} \quad \tilde{f}_{k,min} = \min_{a^i \in D_0 \cap A} \tilde{f}_{k,a^i}, \quad (4.1)$$

$$a^j = \arg \min_{a^i \in D_0 \cap A} \tilde{f}_{k,a^i}, \quad (4.2)$$

ve son olarak (3.22) formülüne uygun olarak c^j merkezi bulunur.

5. HESAPLAMA DENEMELERİ

Sunulan algoritmanın (Algoritma 6) verimliliğini göstermek için PC Intel(R) Core(TM) i3 CPU 2.27 GHz ve RAM 4 GB parametrelerine sahip bilgisayarda gerçek veriler üzerinde sayısal hesaplamalar gerçekleştirildi. Aynı zamanda sunulan algoritma literatürde yer alan Bulanık k-Ortalamalar algoritmasıyla kıyaslandı.

Hesaplama denemelerinde UC Irvine Machine Learning Repository (<http://archive.ics.uci.edu/ml/>) veri ambarından alınan 12 adet veri seti kullanıldı (UCI Machine Learning Repository – Yapay öğrenme algoritmalarının analizi için Yapay öğrenme topluluğu tarafından kullanılan veri tabanları koleksiyonlarıdır). Kullanılan verilerle ilgili bilgiler Çizelge 5.1’de verilmiştir.

Bavaria Postal 1 ve Bavaria Postal 2 veri setleri için sonuçlar sırasıyla Çizelge 5.2 ve Çizelge 5.3’de, Iris veri seti için sonuçlar Çizelge 5.4’de, WINE veri seti için sonuçlar Çizelge 5.5’de, CLEVELAND veri seti için sonuçlar Çizelge 5.6’da, LIVER veri seti için sonuçlar Çizelge 5.7’de, IONOSPHERE veri seti için sonuçlar Çizelge 5.8’de, BREAST veri seti için sonuçlar Çizelge 5.9’da, DIABETS veri seti için sonuçlar Çizelge 5.10’da, TSP veri seti için sonuçlar Çizelge 5.11’de, PAGE BLOCK veri seti için sonuçlar Çizelge 5.12 de, PENDIGIT veri seti için sonuçlar Çizelge 5.13’de gösterilmiştir.

Çizelge 5.1: Veri setlerinin açık tanımı

| Veri seti | Veri sayısı | Özellik sayısı |
|------------|-------------|----------------|
| BAVARIA1 | 89 | 3 |
| BAVARIA2 | 89 | 4 |
| IRIS | 150 | 4 |
| WINE | 178 | 14 |
| CLEVELAND | 297 | 13 |
| LIVER | 345 | 6 |
| IONOSPHERE | 351 | 34 |
| BREAST | 683 | 9 |
| DIABETS | 768 | 8 |
| TSP | 1060 | 2 |
| PAGE BLOCK | 5473 | 10 |
| PENDIGIT | 10992 | 16 |

- k küme sayısıdır;
- f ; FCM algoritmasıyla 10 defa hesaplama sonuçlarının ortalama değeri (Bu algoritma başlangıç noktalarına duyarlı olduğu için) ve FGMCM

algoritması için (bir defa) hesaplanan değerdir (bu algoritma hesaplama sayısından bağımsız olup her çalıştırmada aynı sonucu üreteceğinden bir defa çalıştırılmıştır).

- E; hatanın % değeridir (İki algoritmadan daha iyi sonuç (f_{opt}) olanın hatası sıfır olarak varsayıp

$$E = \frac{(f - f_{opt})}{f_{opt}} \cdot 100$$

formülüne göre hesaplanır.

- t; işlemci çalışma süresidir;
- k_{count} FCM algoritması için 10 defa çalıştırıldığında uzaklık hesaplamalarının ortalama sayısı ve FGMCM algoritması için bir sefer çalıştırıldığında uzaklık hesaplamaları sayısıdır.

Burada f, FCM algoritmasıyla 10 defa hesaplama sonuçlarının ortalama değeri ve FGMCM algoritması için tek hesaplanan değeri ve f_{opt} k-bölünmede bu iki algoritmayla hesaplanan sonuçlardan daha iyi olanıdır.

Çizelge 5.2: Bavaria1 veri seti için sonuçlar

| k | FCM (10 çalışmanın ortalaması) | | | | FGMCM | | | |
|----|--------------------------------|---------|------------------|--------------------|----------|------|------------------|--------------------|
| | f | E | t | D _{count} | f | E | t | D _{count} |
| 2 | 9,93E+11 | 71,63 | 00:00:00.5500000 | 445 | 5,79E+11 | 0,00 | 00:00:00.5530413 | 356 |
| 3 | 3,90E+11 | 71,06 | 00:00:00.5600000 | 3123,9 | 2,28E+11 | 0,00 | 00:00:00.9480302 | 7031 |
| 4 | 1,50E+11 | 25,79 | 00:00:00.5700000 | 7796,4 | 1,19E+11 | 0,00 | 00:00:00.8381701 | 13439 |
| 5 | 1,28E+11 | 174,01 | 00:00:00.5270000 | 7431,5 | 4,68E+10 | 0,00 | 00:00:01.1524557 | 21894 |
| 6 | 1,15E+11 | 269,90 | 00:00:00.6100000 | 12762,6 | 3,10E+10 | 0,00 | 00:00:01.4022011 | 32040 |
| 7 | 1,14E+11 | 379,07 | 00:00:00.6400000 | 18752,3 | 2,38E+10 | 0,00 | 00:00:01.9470050 | 40762 |
| 8 | 6,84E+10 | 227,18 | 00:00:00.6270000 | 22570,4 | 2,09E+10 | 0,00 | 00:00:02.1952856 | 45746 |
| 9 | 4,86E+10 | 161,19 | 00:00:00.6500000 | 25712,1 | 1,86E+10 | 0,00 | 00:00:02.4449404 | 52154 |
| 10 | 1,01E+11 | 511,86 | 00:00:00.5800000 | 14952 | 1,65E+10 | 0,00 | 00:00:02.6445966 | 67284 |
| 11 | 7,65E+10 | 451,52 | 00:00:00.6570000 | 27901,5 | 1,39E+10 | 0,00 | 00:00:03.1785964 | 73158 |
| 12 | 8,23E+10 | 550,79 | 00:00:00.6800000 | 40584 | 1,26E+10 | 0,00 | 00:00:03.5773653 | 91314 |
| 13 | 7,35E+10 | 516,36 | 00:00:00.6500000 | 32743,1 | 1,19E+10 | 0,00 | 00:00:03.9459486 | 100570 |
| 14 | 8,36E+10 | 679,65 | 00:00:00.7530000 | 30651,6 | 1,07E+10 | 0,00 | 00:00:04.3622616 | 122998 |
| 15 | 3,56E+10 | 274,26 | 00:00:00.7370000 | 82770 | 9,51E+09 | 0,00 | 00:00:04.6280423 | 209773 |
| 20 | 2,27E+10 | 310,65 | 00:00:00.7870000 | 75116 | 5,52E+09 | 0,00 | 00:00:08.8072048 | 511750 |
| 25 | 2,18E+10 | 408,66 | 00:00:00.9370000 | 138840 | 4,28E+09 | 0,00 | 00:00:11.2148460 | 800021 |
| 30 | 1,52E+10 | 7503,97 | 00:00:00.9600000 | 134301 | 2,00E+08 | 0,00 | 00:00:19.7241270 | 1624517 |
| 35 | 4,75E+09 | 3767,35 | 00:00:01.2130000 | 223034 | 1,23E+08 | 0,00 | 00:00:25.4283391 | 2744671 |
| 40 | 9,08E+09 | 8417,33 | 00:00:01.2770000 | 262728 | 1,07E+08 | 0,00 | 00:00:30.0118952 | 3716462 |
| 45 | 5,20E+09 | 7081,97 | 00:00:01.4170000 | 289161 | 7,24E+07 | 0,00 | 00:00:41.7922911 | 4356906 |
| 50 | 5,79E+09 | 9446,19 | 00:00:01.5030000 | 344875 | 6,07E+07 | 0,00 | 00:00:38.7687368 | 5464689 |

Çizelge 5.3: Bavaria2 veri seti için sonuçlar

| k | FCM (10 çalışmanın ortalaması) | | | | FGMCM | | | |
|----|--------------------------------|--------|------------------|--------------------|-------------|--------|------------------|--------------------|
| | F | E | t | D _{count} | f | E | t | D _{count} |
| 2 | 82363418373 | 99,72 | 00:00:00.5600000 | 623 | 41240189657 | 0,00 | 00:00:00.6280775 | 534 |
| 3 | 20355298282 | 9,92 | 00:00:00.6130000 | 5713,8 | 18518388731 | 0,00 | 00:00:00.3438855 | 3471 |
| 4 | 19256065011 | 214,95 | 00:00:00.5930000 | 5233,2 | 6114075061 | 0,00 | 00:00:00.5036629 | 20915 |
| 5 | 9168143496 | 137,06 | 00:00:00.6130000 | 10724,5 | 3867391712 | 0,00 | 00:00:00.7406861 | 36045 |
| 6 | 8093248411 | 190,63 | 00:00:00.6630000 | 8917,8 | 2784707581 | 0,00 | 00:00:00.9049078 | 45123 |
| 7 | 9287097548 | 321,79 | 00:00:00.6600000 | 12709,2 | 2201839908 | 0,00 | 00:00:01.2423689 | 86241 |
| 8 | 1787847735 | 0,00 | 00:00:00.6630000 | 30117,6 | 1967525837 | 10,05 | 00:00:01.5564978 | 88377 |
| 9 | 1713840461 | 1,34 | 00:00:00.6500000 | 23949,9 | 1691103234 | 0,00 | 00:00:01.7100315 | 99591 |
| 10 | 7033077497 | 388,00 | 00:00:00.6600000 | 21271 | 1441208251 | 0,00 | 00:00:02.2136175 | 147651 |
| 11 | 4692741809 | 247,89 | 00:00:00.9100000 | 28978,4 | 1348915101 | 0,00 | 00:00:02.4434161 | 151567 |
| 12 | 7747210229 | 564,92 | 00:00:00.7170000 | 20185,2 | 1165127683 | 0,00 | 00:00:02.9141849 | 188947 |
| 13 | 3379211056 | 238,55 | 00:00:00.6800000 | 33784,4 | 998150525 | 0,00 | 00:00:03.6026968 | 245640 |
| 14 | 3357919991 | 256,84 | 00:00:00.6370000 | 31773 | 941027843,2 | 0,00 | 00:00:03.7007947 | 270560 |
| 15 | 3247665633 | 270,96 | 00:00:00.6830000 | 46324,5 | 875485513,6 | 0,00 | 00:00:04.1765584 | 297260 |
| 20 | 3036435294 | 350,57 | 00:00:00.7200000 | 55002 | 673911876 | 0,00 | 00:00:07.0666346 | 520650 |
| 25 | 806169037 | 47,23 | 00:00:00.9970000 | 150187,5 | 547574949,2 | 0,00 | 00:00:11.6787706 | 1288097 |
| 30 | 1075444060 | 125,60 | 00:00:01.0700000 | 180225 | 476713099,6 | 0,00 | 00:00:16.1523527 | 1706664 |
| 35 | 546946887 | 31,55 | 00:00:01.0900000 | 185031 | 415781525,2 | 0,00 | 00:00:21.3133292 | 2628882 |
| 40 | 849139440 | 126,34 | 00:00:01.4000000 | 196156 | 375160443,5 | 0,00 | 00:00:28.3237560 | 3768883 |
| 45 | 417538722 | 28,66 | 00:00:01.3300000 | 251514 | 324519713,3 | 0,00 | 00:00:35.6682668 | 4565967 |
| 50 | 133093271 | 0,00 | 00:00:01.4030000 | 266555 | 288094273,6 | 116,46 | 00:00:42.4022704 | 5305913 |

Çizelge 5.4: IRIS veri seti için sonuçlar

| k | FCM (10 çalışmanın ortalaması) | | | | FGMCM | | | |
|----|--------------------------------|--------|------------------|--------------------|--------------|-------|------------------|--------------------|
| | f | E | t | D _{count} | f | E | t | D _{count} |
| 2 | 340,159714680 | 163,90 | 00:00:00.2270000 | 780 | 128,89531411 | 0,00 | 00:00:00.9375454 | 1500 |
| 3 | 151,817429309 | 150,91 | 00:00:00.2200000 | 3600 | 60,50571063 | 0,00 | 00:00:01.5426924 | 35250 |
| 4 | 92,309831866 | 121,56 | 00:00:00.2900000 | 15900 | 45,81512388 | 0,00 | 00:00:02.0846915 | 37050 |
| 5 | 44,201111751 | 30,86 | 00:00:00.3100000 | 29850 | 38,71644709 | 0,00 | 00:00:02.0913297 | 38550 |
| 6 | 43,878545902 | 77,45 | 00:00:00.2800000 | 33480 | 33,21883266 | 0,00 | 00:00:02.6636480 | 40350 |
| 7 | 37,311542254 | 83,01 | 00:00:00.2770000 | 24150 | 20,59406096 | 0,00 | 00:00:03.1572483 | 71850 |
| 8 | 19,843070491 | 13,02 | 00:00:00.3270000 | 33120 | 17,66723459 | 0,00 | 00:00:03.7352598 | 82650 |
| 9 | 22,749204832 | 47,68 | 00:00:00.3400000 | 45360 | 15,39515618 | 0,00 | 00:00:04.3483871 | 165000 |
| 10 | 19,099375950 | 36,84 | 00:00:00.3900000 | 79500 | 13,67260549 | 0,00 | 00:00:04.8610650 | 223500 |
| 11 | 24,674673359 | 104,71 | 00:00:00.3400000 | 41415 | 12,05363990 | 0,00 | 00:00:06.0355337 | 358800 |
| 12 | 16,535218858 | 48,41 | 00:00:00.4070000 | 84420 | 11,73356941 | 0,00 | 00:00:06.0276412 | 364200 |
| 13 | 18,999855153 | 83,64 | 00:00:00.4600000 | 99840 | 10,06710274 | 0,00 | 00:00:07.5465784 | 473400 |
| 14 | 9,435079323 | 2,07 | 00:00:00.6200000 | 183120 | 9,22500376 | 0,00 | 00:00:07.9796838 | 588900 |
| 15 | 15,518082961 | 77,23 | 00:00:00.5000000 | 106875 | 8,69183553 | 0,00 | 00:00:08.7852087 | 703650 |
| 20 | 6,282515872 | 0,00 | 00:00:00.6200000 | 170100 | 6,57414583 | 4,76 | 00:00:16.1532486 | 1217550 |
| 25 | 5,389403857 | 1,70 | 00:00:00.8400000 | 294000 | 5,35673476 | 0,00 | 00:00:21.1573325 | 1631550 |
| 30 | 4,407470752 | 2,91 | 00:00:00.8070000 | 243450 | 4,28303495 | 0,00 | 00:00:28.9922859 | 3335700 |
| 35 | 3,243244788 | 0,00 | 00:00:01.2930000 | 474075 | 3,49567080 | 10,43 | 00:00:37.5927287 | 4514550 |
| 40 | 4,127971044 | 33,49 | 00:00:01.0370000 | 324600 | 3,07156528 | 0,00 | 00:00:45.6548817 | 5996400 |
| 45 | 2,421431186 | 0,00 | 00:00:01.6930000 | 675675 | 2,79167298 | 12,33 | 00:00:55.5718831 | 8160300 |
| 50 | 2,057044877 | 0,00 | 00:00:01.6630000 | 655500 | 2,51314329 | 19,26 | 00:01:12.1013739 | 10182000 |

Çizelge 5.5: WINE veri seti için sonuçlar

| k | FCM (10 çalışmanın ortalaması) | | | | FGMCM | | | |
|----|--------------------------------|-------|------------------|--------------------|-------------|--------|------------------|--------------------|
| | f | E | t | D _{count} | f | E | t | D _{count} |
| 2 | 5587448 | 50,60 | 00:00:00.9070000 | 783,2 | 3710066,915 | 0,00 | 00:00:01.6639851 | 1780 |
| 3 | 1776407 | 0,31 | 00:00:00.9430000 | 17355 | 1770908,144 | 0,00 | 00:00:01.7457751 | 42898 |
| 4 | 1076785 | 14,35 | 00:00:01.0570000 | 38519,2 | 941655,4366 | 0,00 | 00:00:02.7418371 | 55714 |
| 5 | 652597 | 0,35 | 00:00:01.2030000 | 66216 | 650327,1178 | 0,00 | 00:00:04.0991923 | 114454 |
| 6 | 458738 | 0,85 | 00:00:01.0930000 | 50196 | 454888,1759 | 0,00 | 00:00:05.6628581 | 139018 |
| 7 | 415892 | 4,49 | 00:00:01.2170000 | 67159,4 | 398005,6152 | 0,00 | 00:00:07.3178803 | 151478 |
| 8 | 331821 | 0,00 | 00:00:01.2670000 | 72481,6 | 339228,7419 | 2,23 | 00:00:09.4445816 | 195622 |
| 9 | 293507 | 0,00 | 00:00:01.3830000 | 97401,6 | 307772,5895 | 4,86 | 00:00:12.3898409 | 397474 |
| 10 | 205795 | 44,39 | 00:00:01.4770000 | 126380 | 142522,5848 | 0,00 | 00:00:15.2490709 | 598614 |
| 11 | 167895 | 31,20 | 00:00:01.4230000 | 117088,4 | 127972,0731 | 0,00 | 00:00:18.8798232 | 831616 |
| 12 | 178845 | 50,11 | 00:00:01.8670000 | 233678,4 | 119144,6586 | 0,00 | 00:00:21.7609895 | 902104 |
| 13 | 95663 | 10,19 | 00:00:01.8970000 | 231168,6 | 86815,19428 | 0,00 | 00:00:26.0773774 | 1258460 |
| 14 | 131495 | 56,76 | 00:00:01.4130000 | 100427,6 | 83882,14004 | 0,00 | 00:00:29.9118022 | 1340696 |
| 15 | 80035 | 8,38 | 00:00:01.9730000 | 247776 | 73849,4733 | 0,00 | 00:00:33.3743522 | 1434146 |
| 20 | 50971 | 0,00 | 00:00:02.2270000 | 302244 | 51842,68016 | 1,71 | 00:00:57.4538352 | 2306168 |
| 25 | 38855 | 0,00 | 00:00:02.0100000 | 223390 | 48208,53159 | 24,07 | 00:01:30.7781916 | 4970650 |
| 30 | 22980 | 0,00 | 00:00:03.5400000 | 525456 | 46051,5459 | 100,40 | 00:02:06.0206362 | 6861544 |
| 35 | 18831 | 0,00 | 00:00:04.0470000 | 765667 | 40895,91949 | 117,17 | 00:02:47.5433922 | 8542576 |
| 40 | 15196 | 0,00 | 00:00:04.6930000 | 947672 | 33657,61977 | 121,49 | 00:03:47.4724369 | 14463568 |
| 45 | 12772 | 0,00 | 00:00:05.5900000 | 1198296 | 30044,45408 | 135,23 | 00:04:49.4770356 | 17905554 |
| 50 | 10665 | 0,00 | 00:00:05.5200000 | 1172130 | 25091,27463 | 135,26 | 00:05:46.8838754 | 20414820 |

Çizelge 5.6: CLEVELAND veri seti için sonuçlar

| k | FCM (10 çalışmanın ortalaması) | | | | FGMCM | | | |
|----|--------------------------------|----------|------------------|--------------------|-------------|------|------------------|--------------------|
| | f | E | t | D _{count} | f | E | t | D _{count} |
| 2 | 319,34 | 2,23E+02 | 00:00:00.8430000 | 1485 | 98,77186337 | 0,00 | 00:00:03.3924531 | 1188 |
| 3 | 118,93 | 3,22E+04 | 00:00:01.1970000 | 3118,5 | 3,69E-01 | 0,00 | 00:00:03.3290343 | 2970 |
| 4 | 34,29 | 1,38E+29 | 00:00:01.7030000 | 7484,4 | 2,48E-26 | 0,00 | 00:00:05.4786372 | 6534 |
| 5 | 4,86 | 1,96E+28 | 00:00:01.4570000 | 12028,5 | 2,48E-26 | 0,00 | 00:00:08.0853441 | 9504 |
| 6 | 21,74 | 1,34E+29 | 00:00:01.6100000 | 15147 | 1,63E-26 | 0,00 | 00:00:11.5452714 | 13068 |
| 7 | 1,81 | 1,21E+28 | 00:00:01.6000000 | 16839,9 | 1,50E-26 | 0,00 | 00:00:14.7463253 | 17226 |
| 8 | 14,73 | 1,48E+29 | 00:00:01.6530000 | 14256 | 9,94E-27 | 0,00 | 00:00:20.2609879 | 24354 |
| 9 | 1,26 | 1,53E+28 | 00:00:01.5870000 | 19780,2 | 8,25E-27 | 0,00 | 00:00:23.7485486 | 29700 |
| 10 | 1,47 | 1,93E+28 | 00:00:01.6530000 | 21087 | 7,63E-27 | 0,00 | 00:00:30.4869915 | 44550 |
| 11 | 1,64 | 2,15E+28 | 00:00:01.6630000 | 30709,8 | 7,63E-27 | 0,00 | 00:00:35.1628026 | 51084 |
| 12 | 1,43 | 4,03E+28 | 00:00:01.6630000 | 32432,4 | 3,55E-27 | 0,00 | 00:00:42.1137532 | 76032 |
| 13 | 1,04 | 2,91E+28 | 00:00:01.7430000 | 33976,8 | 3,55E-27 | 0,00 | 00:00:49.6678915 | 83754 |
| 14 | 0,99 | 1,92E+28 | 00:00:01.9170000 | 35758,8 | 5,12E-27 | 0,00 | 00:00:56.1926109 | 117018 |
| 15 | 0,29 | 5,71E+27 | 00:00:01.6730000 | 28066,5 | 5,12E-27 | 0,00 | 00:01:02.1736826 | 125928 |
| 20 | 0,23 | 1,01E+28 | 00:00:01.9230000 | 37422 | 2,29E-27 | 0,00 | 00:01:47.2848947 | 225720 |
| 25 | 0,30 | 9,63E+27 | 00:00:02.1030000 | 53460 | 3,09E-27 | 0,00 | 00:02:58.2028488 | 3590136 |
| 30 | 0,09 | 4,16E+27 | 00:00:02.2570000 | 56133 | 2,09E-27 | 0,00 | 00:04:11.9694065 | 7576470 |
| 35 | 0,00 | 5,62E+01 | 00:00:02.0730000 | 60291 | 1,80E-27 | 0,00 | 00:05:42.8086813 | 12821787 |
| 40 | 0,26 | 1,38E+28 | 00:00:02.2270000 | 91476 | 1,87E-27 | 0,00 | 00:07:28.2022964 | 18659322 |
| 45 | 0,00 | 2,14E+01 | 00:00:02.2770000 | 77517 | 2,20E-27 | 0,00 | 00:09:10.5472465 | 19073637 |
| 50 | 0,00 | 0,00E+00 | 00:00:02.3600000 | 86130 | 1,65E-27 | 8,14 | 00:11:01.4780363 | 19442511 |

Çizelge 5.7: LIVER veri seti için sonuçlar

| k | FCM (10 çalışmanın ortalaması) | | | | FGMCM | | | |
|----|--------------------------------|------|------------------|--------------------|-------------|------|------------------|--------------------|
| | f | E | t | D _{count} | f | E | t | D _{count} |
| 2 | 361081,4698 | 2,51 | 00:00:02.0700000 | 1932 | 352228,5524 | 0,00 | 00:00:02.3444286 | 2760 |
| 3 | 208748,7075 | 0,40 | 00:00:01.9700000 | 45643,5 | 207911,5909 | 0,00 | 00:00:03.3543936 | 74175 |
| 4 | 151557,8038 | 2,77 | 00:00:02.3230000 | 49818 | 147469,946 | 0,00 | 00:00:03.6011962 | 82455 |
| 5 | 114737,605 | 1,66 | 00:00:02.0530000 | 61237,5 | 112863,8385 | 0,00 | 00:00:06.3070420 | 229080 |
| 6 | 92288,26695 | 0,00 | 00:00:02.1600000 | 123372 | 92308,31475 | 0,02 | 00:00:06.7393495 | 311880 |
| 7 | 79628,36074 | 1,37 | 00:00:02.1900000 | 80419,5 | 78552,28314 | 0,00 | 00:00:10.2360135 | 343275 |
| 8 | 68278,19681 | 0,50 | 00:00:02.4100000 | 160632 | 67936,73969 | 0,00 | 00:00:18.2921962 | 456435 |
| 9 | 60356,37821 | 0,75 | 00:00:02.3270000 | 156802,5 | 59905,28053 | 0,00 | 00:00:14.3302942 | 807300 |
| 10 | 54941,91151 | 1,91 | 00:00:02.5470000 | 211140 | 53910,20023 | 0,00 | 00:00:16.3938192 | 1052250 |
| 11 | 48674,39112 | 0,00 | 00:00:02.5430000 | 229977 | 48930,33375 | 0,53 | 00:00:21.6681558 | 1192665 |
| 12 | 44890,84695 | 2,61 | 00:00:02.9200000 | 421038 | 43748,38644 | 0,00 | 00:00:24.6618096 | 1975125 |
| 13 | 41342,8072 | 2,76 | 00:00:02.6830000 | 275827,5 | 40233,38129 | 0,00 | 00:00:27.6341652 | 2441565 |
| 14 | 38367,78315 | 2,58 | 00:00:02.9530000 | 391230 | 37401,57463 | 0,00 | 00:00:30.1996937 | 2552655 |
| 15 | 37224,62377 | 6,67 | 00:00:02.5300000 | 186817,5 | 34896,85398 | 0,00 | 00:00:34.0220685 | 2925255 |
| 20 | 26895,96196 | 4,57 | 00:00:04.2100000 | 917010 | 25719,75919 | 0,00 | 00:01:00.6380743 | 5621085 |
| 25 | 20992,33719 | 2,74 | 00:00:04.7100000 | 1113487,5 | 20432,55093 | 0,00 | 00:01:32.7546106 | 10701210 |
| 30 | 17515,14729 | 3,24 | 00:00:06.1630000 | 1687050 | 16966,05013 | 0,00 | 00:02:03.4281892 | 14406510 |
| 35 | 15069,7572 | 3,36 | 00:00:07.2170000 | 2169877,5 | 14579,43693 | 0,00 | 00:02:42.0318315 | 20134200 |
| 40 | 13189,13933 | 2,08 | 00:00:06.9530000 | 2042400 | 12920,64225 | 0,00 | 00:03:27.3590131 | 24714420 |
| 45 | 11474,34715 | 1,14 | 00:00:07.7770000 | 2376877,5 | 11345,30516 | 0,00 | 00:04:41.2715947 | 39758145 |
| 50 | 10418,80884 | 2,90 | 00:00:07.9070000 | 2178675 | 10124,76613 | 0,00 | 00:06:21.4615916 | 63304050 |

Çizelge 5.8: IONOSPHERE veri seti için sonuçlar

| k | FCM (10 çalışmanın ortalaması) | | | | FGMCM | | | |
|----|--------------------------------|--------|------------------|--------------------|-------------|------|------------------|--------------------|
| | f | E | t | D _{count} | f | E | t | D _{count} |
| 2 | 31,75387852 | 14,72 | 00:00:01.7370000 | 1404 | 27,67961051 | 0,00 | 00:00:04.5004389 | 1404 |
| 3 | 16,9500439 | 107,82 | 00:00:01.8870000 | 2106 | 8,155952887 | 0,00 | 00:00:09.7954798 | 35100 |
| 4 | 1,07E+01 | 117,54 | 00:00:02.1770000 | 2808 | 4,93566319 | 0,00 | 00:00:17.8372711 | 183924 |
| 5 | 9,05E+00 | 249,33 | 00:00:02.0400000 | 3510 | 2,589313397 | 0,00 | 00:00:27.7795093 | 385749 |
| 6 | 5,42E+00 | 196,28 | 00:00:01.8170000 | 4212 | 1,830838645 | 0,00 | 00:00:38.8232925 | 453141 |
| 7 | 3,91E+00 | 220,60 | 00:00:01.8300000 | 4914 | 1,220517966 | 0,00 | 00:00:51.5455842 | 541593 |
| 8 | 3,96E+00 | 344,87 | 00:00:01.9570000 | 5616 | 0,89114514 | 0,00 | 00:01:07.1292686 | 701649 |
| 9 | 2,88E+00 | 332,88 | 00:00:01.9370000 | 6318 | 0,664739995 | 0,00 | 00:01:26.8850087 | 1371357 |
| 10 | 2,17E+00 | 316,95 | 00:00:01.9930000 | 7020 | 0,519378636 | 0,00 | 00:01:44.8668367 | 1522287 |
| 11 | 2,24E+00 | 480,95 | 00:00:02.0530000 | 7722 | 0,385601845 | 0,00 | 00:02:08.2191856 | 2004912 |
| 12 | 1,70E+00 | 403,31 | 00:00:02.0700000 | 8424 | 0,337453314 | 0,00 | 00:02:35.1415130 | 2902068 |
| 13 | 1,87E+00 | 587,76 | 00:00:01.9970000 | 9126 | 0,272398349 | 0,00 | 00:03:03.7613350 | 3969810 |
| 14 | 8,75E-01 | 273,56 | 00:00:02.0070000 | 9828 | 0,234158889 | 0,00 | 00:03:35.9019093 | 5060718 |
| 15 | 1,47E+00 | 580,17 | 00:00:02.5100000 | 10530 | 0,215834142 | 0,00 | 00:04:02.2875618 | 5108103 |
| 20 | 7,32E-01 | 546,47 | 00:00:02.2870000 | 14040 | 0,113237392 | 0,00 | 00:07:05.4621985 | 9009468 |
| 25 | 4,83E-01 | 446,55 | 00:00:02.4070000 | 17550 | 0,088296992 | 0,00 | 00:11:33.8665315 | 16988049 |
| 30 | 3,23E-01 | 377,05 | 00:00:02.4630000 | 21060 | 0,06763112 | 0,00 | 00:16:33.5639800 | 27455571 |
| 35 | 2,27E-01 | 251,52 | 00:00:02.6800000 | 24570 | 0,064467225 | 0,00 | 00:23:29.2769294 | 45186687 |
| 40 | 1,91E-01 | 202,08 | 00:00:02.7630000 | 28080 | 0,063269142 | 0,00 | 00:30:40.8971535 | 60633846 |
| 45 | 1,10E-01 | 78,37 | 00:00:02.8000000 | 31590 | 0,061800776 | 0,00 | 00:39:59.4908467 | 86223852 |
| 50 | 1,56E-01 | 155,87 | 00:00:02.9300000 | 35100 | 0,060810998 | 0,00 | 00:48:49.4123436 | 106847559 |

Çizelge 5.9: BREAST veri seti için sonuçlar

| k | FCM (10 çalışmanın ortalaması) | | | | FGMCM | | | |
|----|--------------------------------|----------|------------------|--------------------|-------------|------|------------------|--------------------|
| | f | E | t | D _{count} | f | E | t | D _{count} |
| 2 | 940,6184349 | 1,71E+02 | 00:00:02.2830000 | 3824,8 | 346,8923941 | 0,00 | 00:00:06.4915657 | 2732 |
| 3 | 472,2605213 | 3,82E+02 | 00:00:03.9100000 | 5942,1 | 98,05803835 | 0,00 | 00:00:09.3775000 | 12977 |
| 4 | 3,47E+02 | 3,85E+02 | 00:00:02.3030000 | 13660 | 7,15E+01 | 0,00 | 00:00:17.2634890 | 18441 |
| 5 | 2,27E+02 | 5,73E+02 | 00:00:03.1430000 | 22880,5 | 3,38E+01 | 0,00 | 00:00:16.7294729 | 28686 |
| 6 | 1,67E+02 | 1,58E+03 | 00:00:03.1670000 | 27046,8 | 9,93E+00 | 0,00 | 00:00:22.3379983 | 53274 |
| 7 | 9,70E+01 | 1,18E+03 | 00:00:03.7930000 | 54981,5 | 7,60E+00 | 0,00 | 00:00:28.6304916 | 62836 |
| 8 | 9,67E+01 | 1,85E+03 | 00:00:04.4570000 | 44258,4 | 4,95E+00 | 0,00 | 00:00:36.0961571 | 79228 |
| 9 | 8,18E+01 | 5,59E+03 | 00:00:04.3970000 | 135848,7 | 1,44E+00 | 0,00 | 00:00:42.5925525 | 91522 |
| 10 | 7,40E+01 | 1,30E+15 | 00:00:04.2770000 | 118842 | 5,70E-12 | 0,00 | 00:00:51.0623051 | 105182 |
| 11 | 4,15E+01 | 6,96E+02 | 00:00:04.5970000 | 176555,5 | 5,21E+00 | 0,00 | 00:00:59.1359739 | 120208 |
| 12 | 5,84E+01 | 7,25E+14 | 00:00:04.3370000 | 160641,6 | 8,05E-12 | 0,00 | 00:01:08.0449127 | 136600 |
| 13 | 7,35E+01 | 1,43E+03 | 00:00:04.2830000 | 205104,9 | 4,82E+00 | 0,00 | 00:01:18.8184168 | 154358 |
| 14 | 3,17E+01 | 2,08E+24 | 00:00:05.4300000 | 151079,6 | 1,52E-21 | 0,00 | 00:01:29.1551789 | 211730 |
| 15 | 3,81E+01 | 1,64E+10 | 00:00:05.1670000 | 243831 | 2,33E-07 | 0,00 | 00:01:42.3472052 | 252710 |
| 20 | 1,95E+01 | 2,17E+03 | 00:00:05.0100000 | 357892 | 8,59E-01 | 0,00 | 00:03:01.8417591 | 483564 |
| 25 | 9,81E+00 | 1,72E+02 | 00:00:05.8430000 | 486637,5 | 3,60E+00 | 0,00 | 00:04:44.1612973 | 960981 |
| 30 | 9,79E+00 | 7,56E+02 | 00:00:06.4800000 | 592161 | 1,14E+00 | 0,00 | 00:06:35.8563273 | 1361902 |
| 35 | 9,02E+00 | 1,67E+03 | 00:00:06.4370000 | 645435 | 5,09E-01 | 0,00 | 00:08:43.4235393 | 1743016 |
| 40 | 9,08E+00 | 2,93E+04 | 00:00:05.6670000 | 483564 | 3,09E-02 | 0,00 | 00:35:55.6384977 | 2908214 |
| 45 | 6,20E+00 | 1,00E+04 | 00:00:07.0330000 | 968152,5 | 6,11E-02 | 0,00 | 00:14:15.3606881 | 3410219 |
| 50 | 4,80E+00 | 2,58E+03 | 00:00:08.0530000 | 1280625 | 1,79E-01 | 0,00 | 00:17:28.5998876 | 4981119 |

Çizelge 5.10: DIABETS veri seti için sonuçlar

| k | FCM (10 çalışmanın ortalaması) | | | | FGMCM | | | |
|----|--------------------------------|-------|------------------|--------------------|-------------|-------|------------------|--------------------|
| | f | E | t | D _{count} | f | E | t | D _{count} |
| 2 | 27659,72 | 17,51 | 00:00:04.1670000 | 3072 | 23538,95964 | 0,00 | 00:00:07.2175795 | 3072 |
| 3 | 9763,50 | 0,37 | 00:00:04.6100000 | 149068,8 | 9727,035467 | 0,00 | 00:00:16.5557688 | 79104 |
| 4 | 5487,53 | 0,00 | 00:00:05.3130000 | 538521,6 | 5487,534984 | 0,00 | 00:00:26.1325551 | 678144 |
| 5 | 3455,16 | 0,18 | 00:00:05.8700000 | 619776 | 3448,991188 | 0,00 | 00:00:39.6741339 | 1000704 |
| 6 | 2359,75 | 0,00 | 00:00:05.9230000 | 814694,4 | 2359,703507 | 0,00 | 00:00:58.4543885 | 2341632 |
| 7 | 1992,64 | 13,02 | 00:00:08.7770000 | 1237555,2 | 1763,067551 | 0,00 | 00:01:19.9486974 | 3782400 |
| 8 | 1318,21 | 0,00 | 00:00:08.7370000 | 1731993,6 | 1318,212627 | 0,00 | 00:01:46.6716950 | 6381312 |
| 9 | 1048,69 | 2,40 | 00:00:08.4670000 | 1774310,4 | 1024,107255 | 0,00 | 00:02:15.4989234 | 8648448 |
| 10 | 866,82 | 10,02 | 00:00:09.6730000 | 1499136 | 787,8450969 | 0,00 | 00:02:44.2900472 | 10184448 |
| 11 | 710,54 | 4,16 | 00:00:10.7700000 | 2257305,6 | 682,1922277 | 0,00 | 00:03:22.6204079 | 14408448 |
| 12 | 588,96 | 2,34 | 00:00:10.3570000 | 2547302,4 | 575,4993158 | 0,00 | 00:03:54.6121772 | 14804736 |
| 13 | 531,67 | 4,30 | 00:00:11.2700000 | 2432102,4 | 509,770523 | 0,00 | 00:04:33.5251038 | 18099456 |
| 14 | 464,47 | 1,24 | 00:00:13.8970000 | 3114854,4 | 458,7970226 | 0,00 | 00:05:10.9153024 | 18572544 |
| 15 | 391,31 | 2,15 | 00:00:10.4730000 | 2287872 | 383,0645111 | 0,00 | 00:05:55.2400818 | 21314304 |
| 20 | 215,37 | 0,00 | 00:00:21.6330000 | 6248448 | 229,1530317 | 6,40 | 00:10:30.6439724 | 42306048 |
| 25 | 133,48 | 0,00 | 00:00:26.3530000 | 7981440 | 148,9155976 | 11,56 | 00:16:43.5791164 | 77933568 |
| 30 | 83,12 | 0,00 | 00:00:22.0000000 | 6465024 | 113,656639 | 36,73 | 00:23:36.1694973 | 105924096 |
| 35 | 51,83 | 0,00 | 00:00:20.8870000 | 5693184 | 89,00901311 | 71,74 | 00:31:41.5688671 | 136035072 |
| 40 | 30,39 | 0,00 | 00:00:26.2900000 | 7928832 | 57,61058954 | 89,57 | 00:40:03.2513109 | 149618688 |
| 45 | 10,58 | 59,94 | 00:00:17.3500000 | 4064256 | 6,613947929 | 0,00 | 00:49:30.0585452 | 157671168 |
| 50 | 1,83 | 95,69 | 00:00:13.2730000 | 1693440 | 0,935796807 | 0,00 | 00:59:55.9337937 | 168603648 |

Çizelge 5.11: TSP veri seti için sonuçlar

| k | FCM (10 çalışmanın ortalaması) | | | | FGMCM | | | |
|----|--------------------------------|-------|------------------|--------------------|------------------|-------|------------------|--------------------|
| | f | E | t | D _{count} | f | E | t | D _{count} |
| 2 | 9719128577109350 | 19,56 | 00:00:06.1130000 | 5300 | 8129108495305950 | 0,00 | 00:00:04.0158374 | 8480 |
| 3 | 4665127657947810 | 0,48 | 00:00:05.9170000 | 198750 | 4642745259160100 | 0,00 | 00:00:16.3566228 | 145220 |
| 4 | 3159697751165390 | 1,90 | 00:00:06.0170000 | 256520 | 3100888935996900 | 0,00 | 00:00:22.8667654 | 509860 |
| 5 | 2300623027779090 | 0,20 | 00:00:10.3300000 | 601020 | 2296035022204430 | 0,00 | 00:00:24.6412358 | 780160 |
| 6 | 1821437985299850 | 0,68 | 00:00:07.7300000 | 587028 | 1809104108312710 | 0,00 | 00:00:34.2224419 | 1079080 |
| 7 | 1480846726821120 | 0,00 | 00:00:06.4770000 | 454104 | 1585254399143180 | 7,05 | 00:00:43.1700302 | 1093920 |
| 8 | 1215726163183300 | 1,05 | 00:00:10.5770000 | 919232 | 1203133596411060 | 0,00 | 00:00:49.4258591 | 1687520 |
| 9 | 1069711233374000 | 3,60 | 00:00:07.1370000 | 776556 | 1032519982872180 | 0,00 | 00:01:06.7601022 | 2393480 |
| 10 | 941778471367549 | 5,94 | 00:00:08.1330000 | 1555020 | 888987852202098 | 0,00 | 00:01:18.3914718 | 3061280 |
| 11 | 792679429413066 | 1,20 | 00:00:08.2370000 | 1449338 | 783245503482232 | 0,00 | 00:02:22.6365732 | 4472140 |
| 12 | 709653914233167 | 1,13 | 00:00:07.7800000 | 1235112 | 701749788992608 | 0,00 | 00:02:21.8094964 | 5985820 |
| 13 | 634689619571697 | 0,00 | 00:00:08.3100000 | 1588834 | 647523726170927 | 2,02 | 00:02:48.5704486 | 6123620 |
| 14 | 567569983196393 | 0,00 | 00:00:10.8930000 | 2916060 | 569019653459218 | 0,26 | 00:03:07.8699913 | 8572220 |
| 15 | 523169414306253 | 0,00 | 00:00:09.0870000 | 2012940 | 523293796046833 | 0,02 | 00:02:46.2050137 | 10639220 |
| 20 | 365448632911904 | 2,65 | 00:00:10.8270000 | 3014640 | 356003644140291 | 0,00 | 00:04:48.1725781 | 26112040 |
| 25 | 268649582971782 | 0,00 | 00:00:15.4200000 | 5936000 | 270921111891177 | 0,85 | 00:06:53.4707062 | 57902500 |
| 30 | 213715693050397 | 0,00 | 00:00:14.9930000 | 5440980 | 219575878203061 | 2,74 | 00:09:23.3998918 | 74704560 |
| 35 | 169934325218088 | 0,00 | 00:00:19.8470000 | 8614620 | 176736446719630 | 4,00 | 00:12:33.1384653 | 121143160 |
| 40 | 146582090968849 | 0,00 | 00:00:18.6770000 | 7844000 | 148402537620216 | 1,24 | 00:15:55.8313359 | 137049520 |
| 45 | 125351974908950 | 0,00 | 00:00:16.4770000 | 6057900 | 130645067240350 | 4,22 | 00:20:46.8459217 | 194088120 |
| 50 | 107969120161041 | 0,00 | 00:00:21.9500000 | 9736100 | 119926939218492 | 11,08 | 00:23:52.5072863 | 232558700 |

Çizelge 5.12: PAGE BLOCK veri seti için sonuçlar

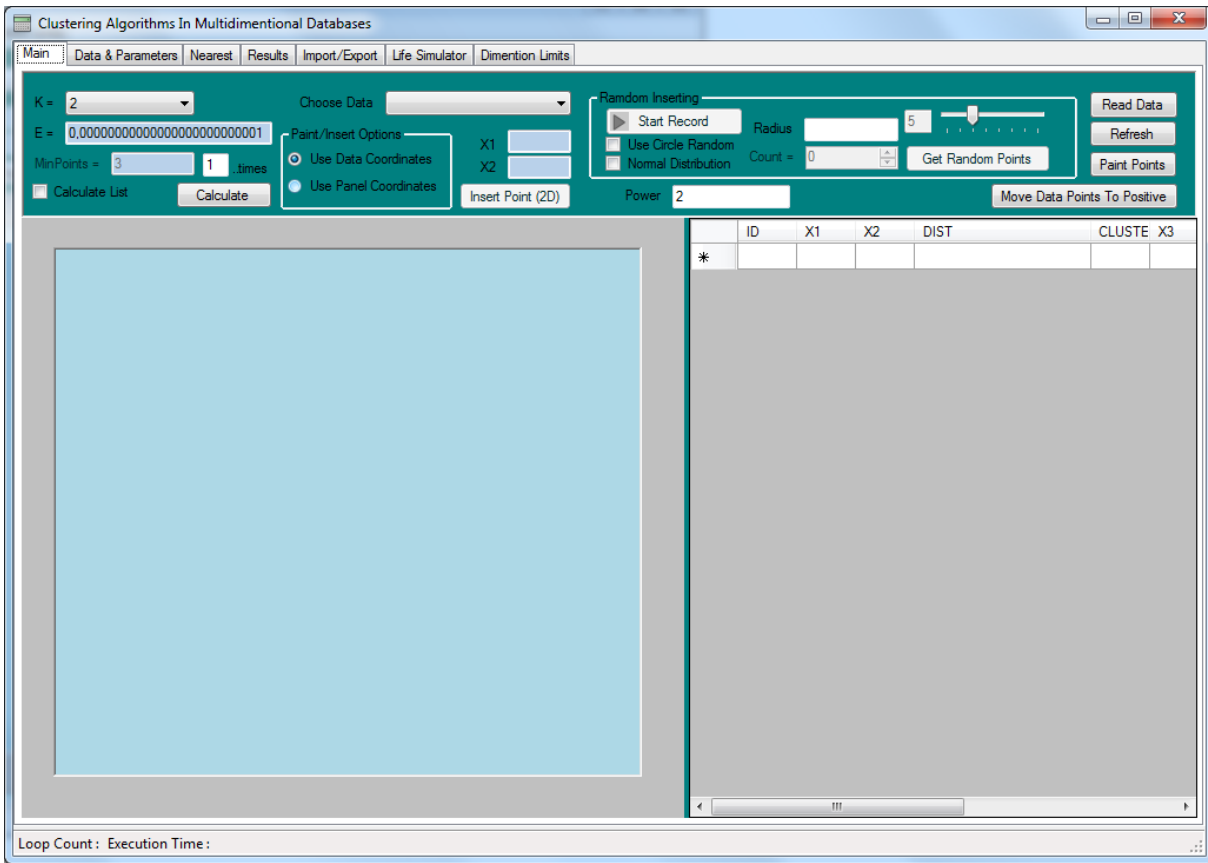
| k | FCM (10 çalışmanın ortalaması) | | | | FGMCM | | | |
|----|--------------------------------|-------|------------------|--------------------|-------------|------|------------------|--------------------|
| | f | E | t | D _{count} | f | E | t | D _{count} |
| 2 | 71340283,55 | 58,51 | 00:00:05.6570000 | 21892 | 45006430,35 | 0,00 | 00:05:38.5083680 | 21892 |
| 3 | 26203146,3 | 5,58 | 00:00:07.7530000 | 666611,4 | 24817651,3 | 0,00 | 00:14:22.9942258 | 4356508 |
| 4 | 1,47E+07 | 0,00 | 00:00:08.4230000 | 849409,6 | 1,57E+07 | 6,95 | 00:24:54.6211853 | 11537084 |
| 5 | 1,02E+07 | 16,61 | 00:00:09.9600000 | 1526967 | 8738043,192 | 0,00 | 00:38:29.0036795 | 18405699 |
| 6 | 7,57E+06 | 20,22 | 00:00:11.4900000 | 2026104,6 | 6294490,316 | 0,00 | 00:53:55.8814841 | 25236003 |
| 7 | 6,35E+06 | 24,17 | 00:00:13.3400000 | 2654952,3 | 5115395,261 | 0,00 | 01:13:28.3586868 | 44391503 |
| 8 | 4,34E+06 | 28,57 | 00:00:11.4700000 | 1983415,2 | 3376092,89 | 0,00 | 01:35:12.7572140 | 66283503 |
| 9 | 3,66E+06 | 36,64 | 00:00:14.5870000 | 3088413,9 | 2678738,189 | 0,00 | 01:58:17.4563351 | 90912003 |
| 10 | 2,69E+06 | 24,12 | 00:00:18.9670000 | 4641104 | 2166409,273 | 0,00 | 02:23:59.2562800 | 106510053 |
| 11 | 2,03E+06 | 12,32 | 00:00:25.8730000 | 7200278,8 | 1807288,427 | 0,00 | 02:52:30.4134416 | 117948623 |
| 12 | 2,03E+06 | 34,02 | 00:00:25.0570000 | 6928818 | 1516504,801 | 0,00 | 03:23:12.9475463 | 147896879 |

Çizelge 5.13: PENDIGIT veri seti için sonuçlar

| k | FCM (10 çalışmanın ortalaması) | | | | FGMCM | | | |
|---|--------------------------------|-------|------------------|--------------------|-------------|------|------------------|--------------------|
| | f | E | t | D _{count} | f | E | t | D _{count} |
| 2 | 2281122,524 | 26,02 | 00:00:11.7670000 | 43968 | 1810136,892 | 0,00 | 00:09:23.5020858 | 43968 |
| 3 | 567209,4033 | 0,00 | 00:00:15.3000000 | 890352 | 570543,3882 | 0,59 | 00:23:57.9966188 | 241824 |
| 4 | 3,14E+05 | 1,53 | 00:00:16.9430000 | 1336627,2 | 309233,7121 | 0,00 | 00:42:33.2228959 | 8551776 |
| 5 | 1,78E+05 | 2,75 | 00:00:27.7370000 | 4105512 | 173077,8539 | 0,00 | 01:04:21.6022562 | 13278336 |
| 6 | 1,28E+05 | 0,00 | 00:00:32.9870000 | 5427849,6 | 130775,6089 | 1,81 | 01:31:24.1976474 | 13542144 |
| 7 | 8,27E+04 | 0,95 | 00:00:25.8970000 | 3777950,4 | 81965,07607 | 0,00 | 02:03:20.1091332 | 20082384 |
| 8 | 6,39E+04 | 2,98 | 00:00:33.7400000 | 5751014,4 | 62097,19949 | 0,00 | 02:39:49.8736324 | 21489360 |

6. KÜMELEME YÖNTEMLERİNİN GERÇEKLEŞTİRİLMESİ İÇİN GELİŞTİRİLEN YAZILIM

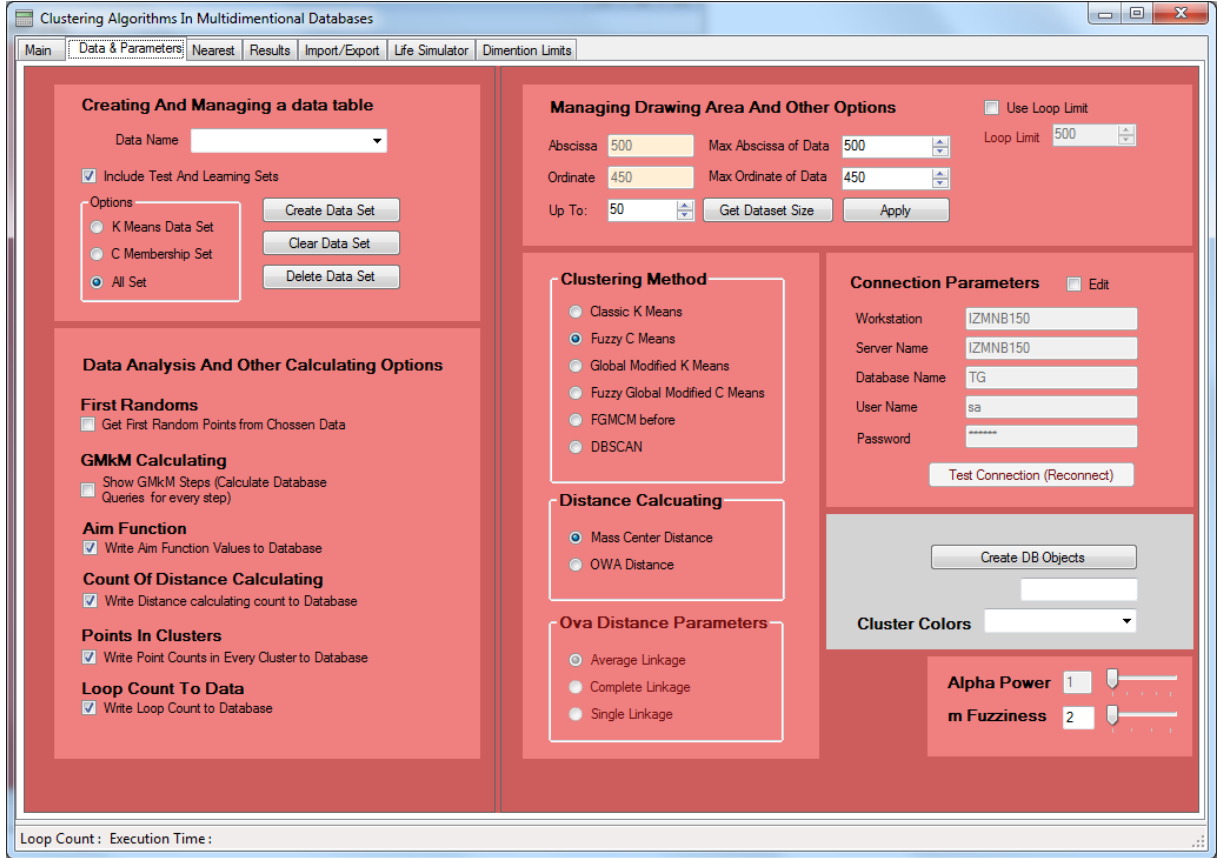
Kümeleme yöntemlerinin farklı parametrelerle farklı veriler üzerinde uyarlanması, sonuçların saklanması, sunulması ve gerekli diğer ek hesaplamalar için C# programlama dilinde bir yazılım geliştirilmiştir. Ek'te yazılımın kodu verilmektedir. Program Microsoft SQL Server imkanlarını kullanmaktadır. Farklı kümeleme algoritmalarını çeşitli parametre değerleriyle ele alarak, isteğe bağlı olarak seçilen veri seti üzerinde kümeleme algoritmaları uygulanabilmektedir (Şekil 6.1).



Şekil 6.1: Ana sekmenin görüntüsü.

Belirtildiği gibi, yazılımın veritabanı altyapısında Microsoft SQL Server kullanılmıştır. Program veritabanı katmanında çok sayıda tablo, prosedür ve fonksiyon kullanmaktadır. Diğer taraftan, yeni bir veritabanına kolaylıkla geçiş sağlanabilmektedir. Veritabanı nesnelerinin oluşturulması için *Data&Parameters*

sekmesindeki *Connection Parameters* bölümünden yeni veritabanına bağlantı bilgileriyle bağlantı yapılabilmektedir (Şekil 6.2). Bağlantı zamanı otomatik olarak program desteği için gereken veritabanı nesnelere oluşturuluyor ve program kullanıma hazır olmuş oluyor. (Kurulum tarzında bir işleme gerek kalmıyor.)

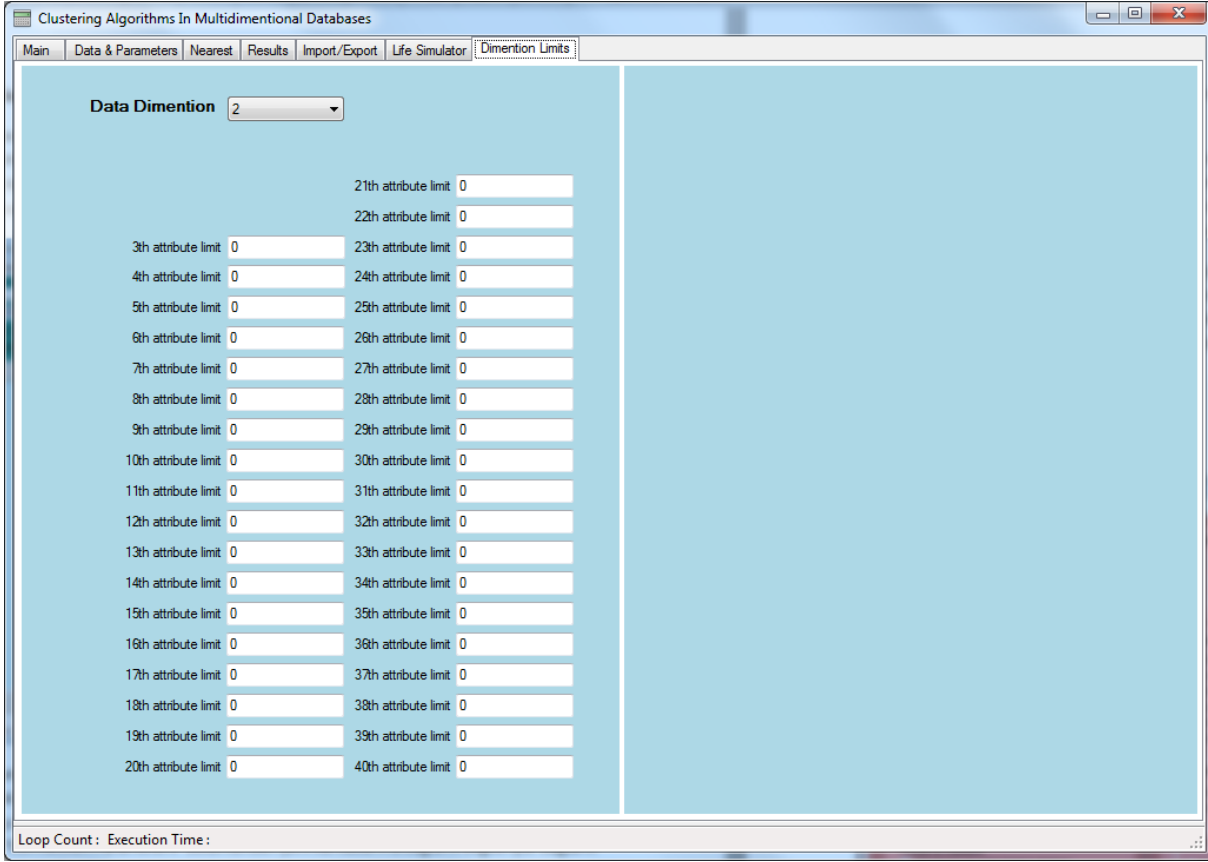


Şekil 6.2: *Data&Parameters* sekmesi.

Program aynı zamanda yeni veri setleri oluşturup, farklı yöntemlerle setlere yeni veri eklemek imkanına sahiptir. Veri setindeki seçilen özelliğe göre setin içeriğini görsel sunma yeteneğine sahiptir ve hesaplama aşamasında ise analiz için çeşitli verilerin veritabanına depolanması özelliklerini de desteklemektedir.

Kümelenmek istenen verinin oluşturulmasından sonra (bu veriler hazır veri setleri olmakla beraber program tarafından manuel de oluşturulabilmektedir) *Data&Parameters* sekmesinde *Clustering Method* bölümünden seçilen veri setini kümelemek için kullanılacak algoritma seçilebilir. *Managing Drawing Area And Other Options* bölümünden verinin ilk iki boyutu için sınırlarının gerekirse manuel veya otomatik olarak tanımlanması yapılabilmektedir. Diğer 38 boyut için

sınırlar *Dimention Limits* sekmesinden yapılabilir(Şekil 6.3). Program 40 boyuta kadar verilerle çalışmayı desteklemektedir.



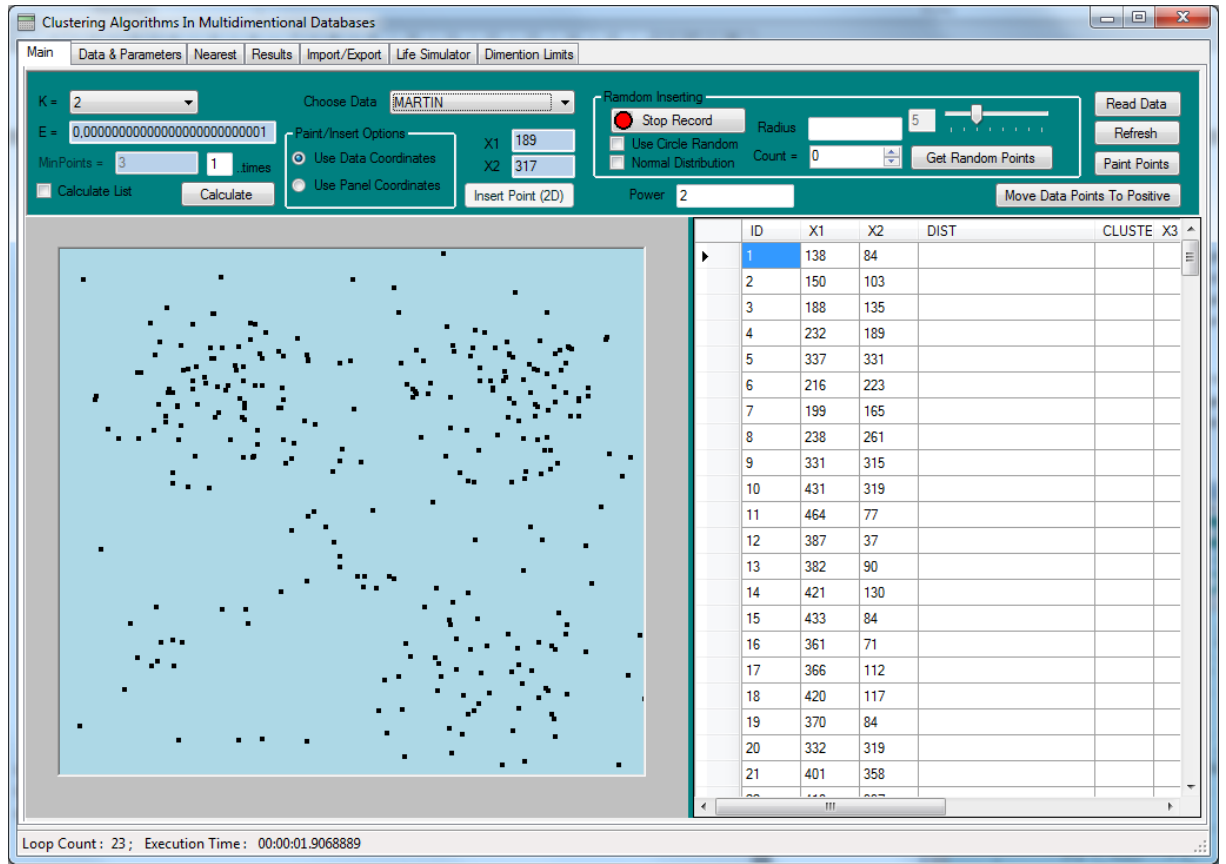
Şekil 6.3: *Dimention Limits* sekmesi.

Hesaplama yapılmadan önce *Data Analysis And Other Calculating Options* bölümünden; hesaplama aşamasında amaç fonksiyon değeri, her kümeye kaç nokta atandığı, kaç uzaklık fonksiyonu hesaplandığı, iterasyonel fark olan epsilon değerinin altına inene kadar kaç döngü olduğu gibi bilgileri gelecek analizler için veritabanına depolamak mümkündür.

Veri girişi

Varolan veya yeni bir veri setine veri girişi yapılması için veri setini seçtikten sonra *Main* sekmesindeki sağ üst köşede bulunan *Random Inserting* sekmesinden ayarlanarak yapıla bilinmektedir. Bu bölümde *Start Record*

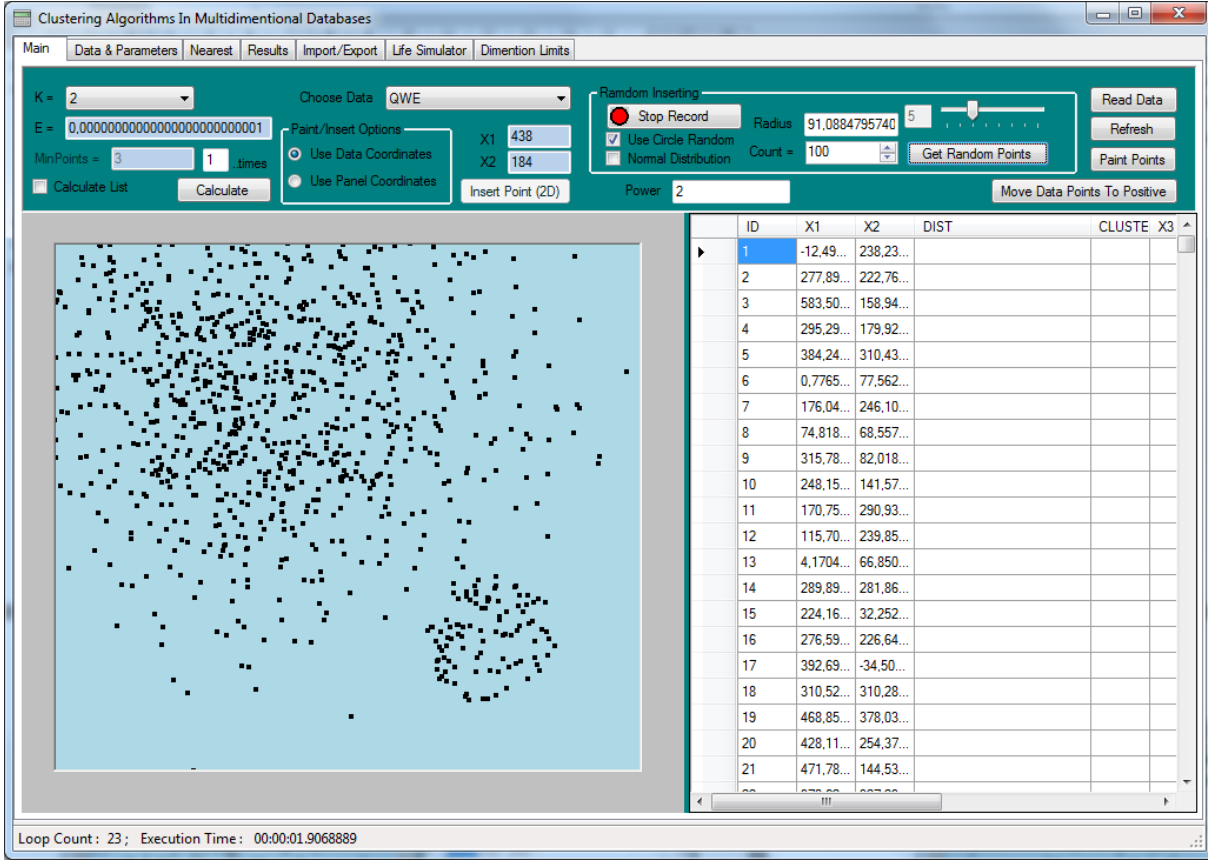
butonunu basarak veri ekleme moduna geçilebilir. Verinin görsel sunulduğu alanda mouse ile tıklayarak noktalar eklenebilir(Şekil 6.4).



Şekil 6.4: Veri Girişi.

Belli sayıda noktayı rastgele oluşturmak için “*Count* =” alanına nokta sayısı yazıp *Get Random Points* butonu tıklanır. Diğer yandan, belli bir dairenin içinde verilen sayıda rastgele nokta oluşturulması için *Use Circle Random* kutucuğunu işaretleyerek verinin sunulduğu alanda merkez noktası ve yarıçap (*Radius*) değerlerini vererek yapılır (*Radius* değeri manuel de verilebilir).

Bir başka veri ekleme yöntemide Müller-Boks dönüştürme (Box–Muller transform) (George Edward Pelham Box ve Mervin Edgar Muller; 1958) yöntemi kullanılarak yapılabilmektedir. Bu işlem *Normal Distribution* kutucuğunu işaretleyerek yapılabilir (burada eğer *radius* değeri verilirse, veri oluşturulması *radius* değeriyle sınırlandırılacaktır, verilmezse sınırsız dağılımlı şekilde olacaktır (Şekil 6.5).

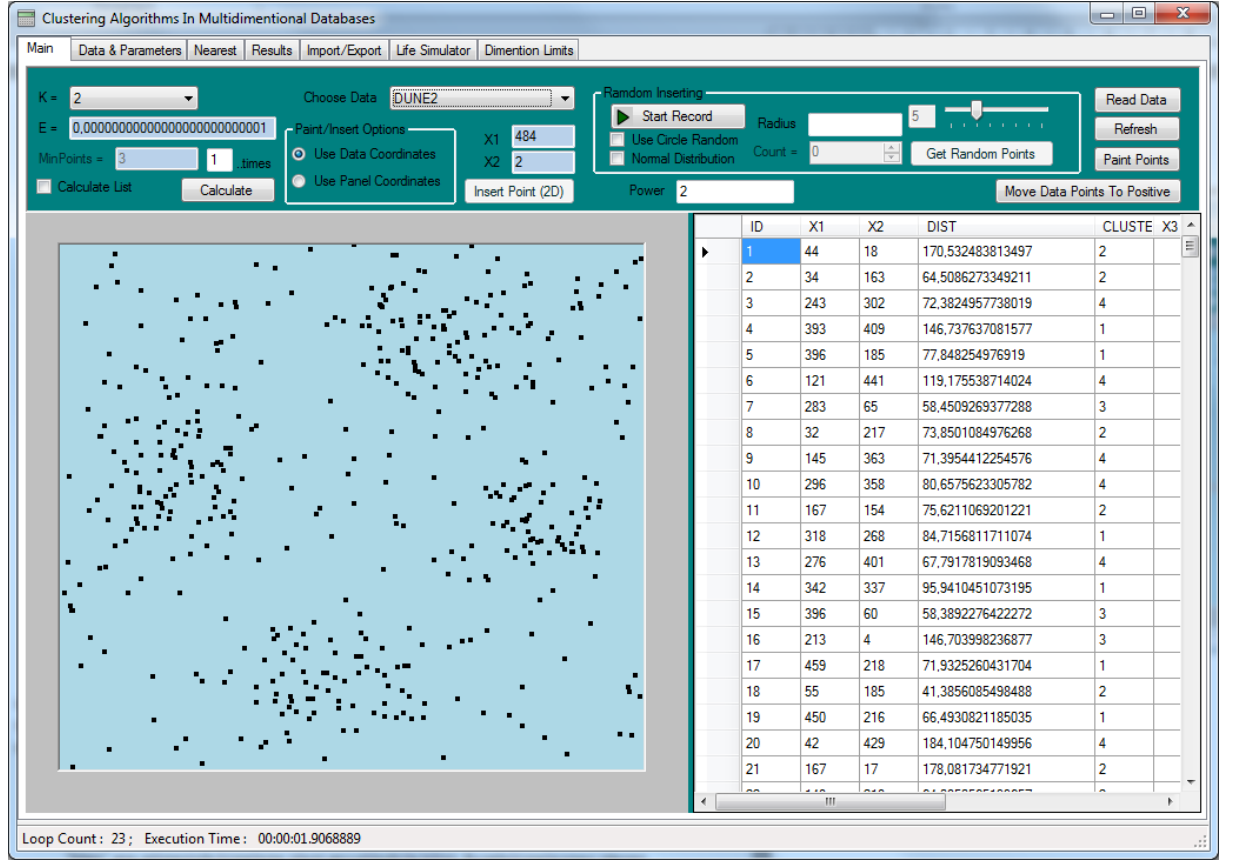


Şekil 6.5: Müller – Box dönüştürme yöntemiyle sınırlı ve sınırsız dağılım.

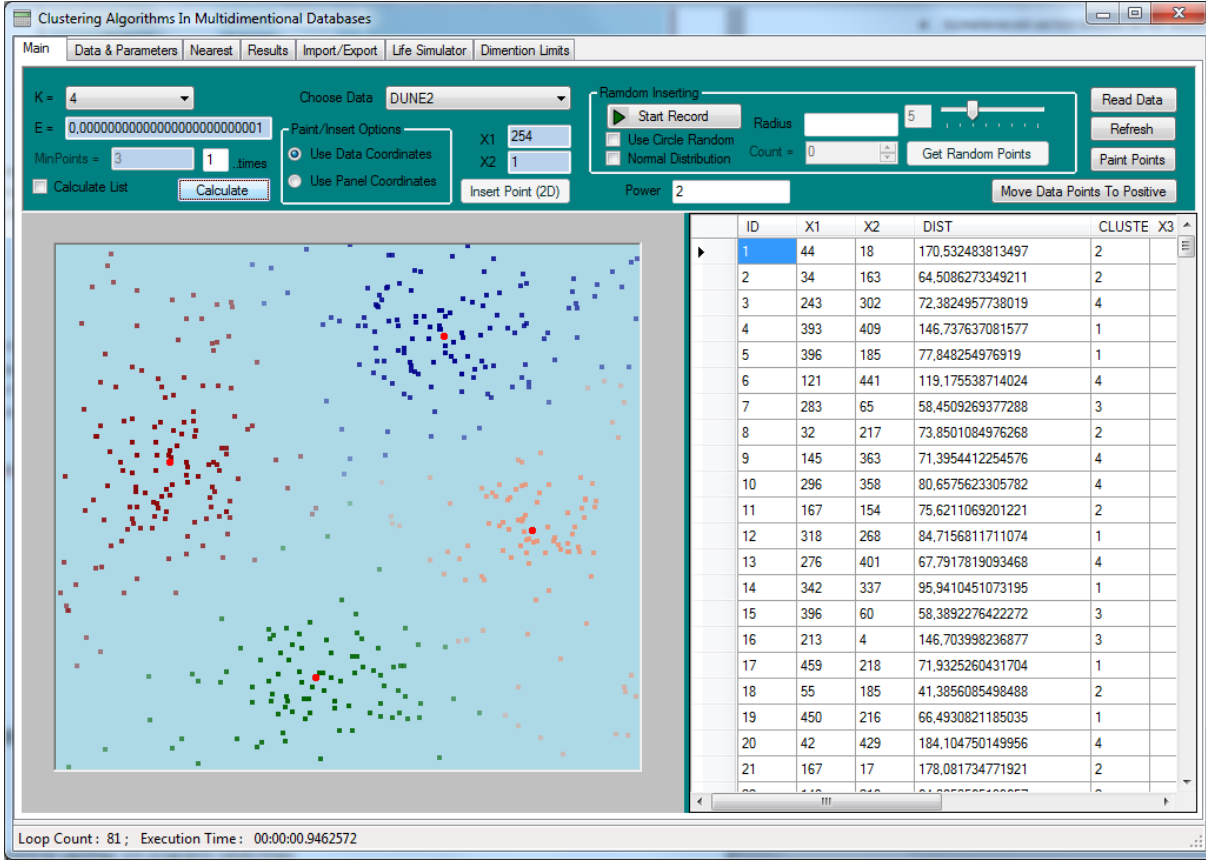
Kümeleme işlemi

Main ana sekmesinde kümeleme işlemi gerçekleştirilebilir. Burada kümelenmesi istenen veri seçildikten sonra k-Ortalamalar tabanlı algoritmalar için k ; verilen küme sayısı, iterasyondan çıkış koşulu seçilerek, kümeleme işlemi gerçekleştirilir. Ayrıca kümelemenin kaç defa art-arda yapılması ve her bir k ; küme sayısı için çalışması istendiğinde bunun otomatik yapılması için seçenekler bulunmaktadır.

Kümeleme işlemi için veri seti ve parametreler ayarlandıktan sonra *Calculate* butonuyla işlem gerçekleştirilir (Şekil 6.6). Kümeleme sonucunda oluşan her bir kümenin elemanları farklı renklerle birbirlerinden ayrılmaktadırlar. Oluşan kümelerin merkezleri de kırmızı noktalarla gösterilir.



Şekil 6.6: Veri setinin seçilmesi



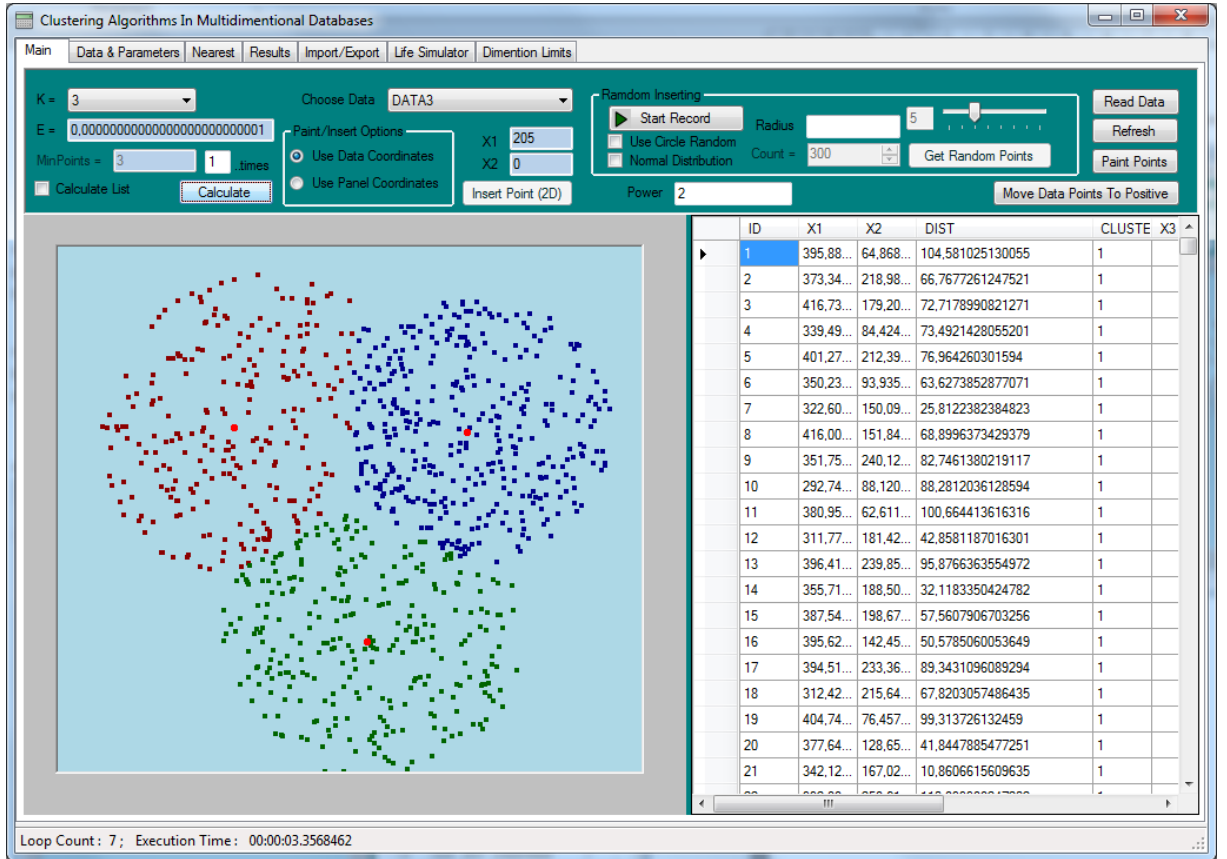
Şekil 6.7: Kümeleme işlemi sonucu (2 boyutlu veri setinin bulanık 4 kümeye ayrılması)

Kümeleme bittiğinde iterasyon sayısı ve çalışma süresi son hesaplama için ekranın alt kısmında görüntülenmektedir. Kümeleme öncesi seçilen parametrelere göre (Şekil 6.7). veritabanında değerler oluşmaktadır. Bu toplanan değerlere göre yöntemlerin detaylı analizi ve kıyaslanması yapılabilir.

Bulanık kümeleme

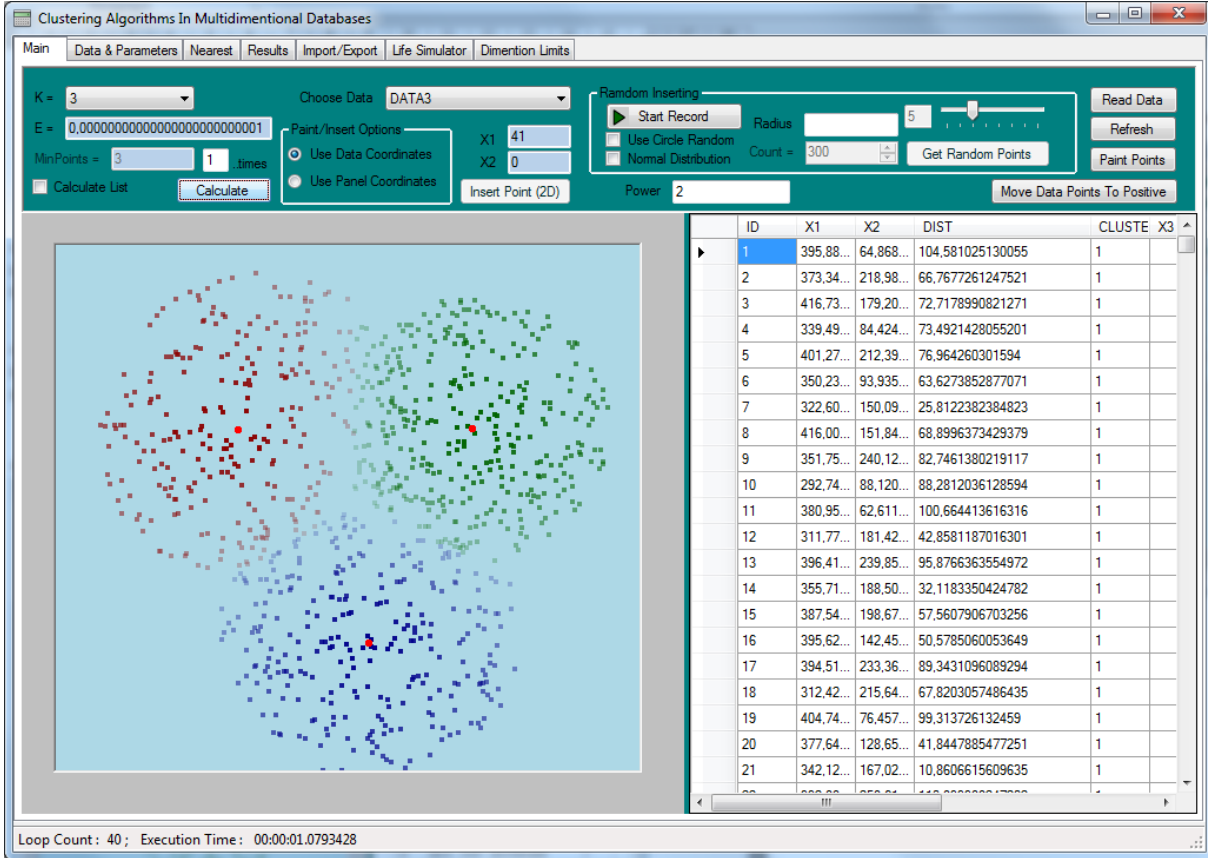
Kesin (Hard) ve bulanık (fuzzy) kümeleme yöntemleri arasında başlıca fark kesin kümelemede her bir veri elemanı sadece tek bir kümeye ait olduğu halde bulanık kümelemede her bir eleman birden fazla kümelere 0 ile 1 arasında değişen üyelik derecelerine göre ait olmaktadır. Bir noktanın bütün üyelik dereceleri toplamı 1' eşit olmalıdır. Buna normallik koşulu denir.

Bu programda kesin ve bulanık yöntemlere göre hesaplanan sonuçların sunumunda noktaların bulanıklılığı da gösterilmektedir. Aynı veri için kesin kümeleme yöntemi olan k-Ortalamlar ve bulanık kümeleme yöntemi olan Bulanık c-Ortalamlar algoritmalarıyla kümeleyerek oluşan sonuçları görsel şekilde görmek mümkündür (Şekil 6.8).



Şekil 6.8: Kesin kümeleme sonucu (küme sınırları kesin ayrılmakta).

Bulanık kümeleme sonucunda ise iki küme sınırlarındaki noktaların her iki kümeyle yakın değerlerle ait olmalarını renklerdeki saydamlık düzeylerine göre görmek mümkündür (Şekil 6.9).



Şekil 6.9: Bulanık kümeleme sonucu (küme sınırlarının bulanık şekli).

7. SONUÇ

Bu tezde, bulanık kümeleme probleminin çözümü için yeni bir Bulanık Global Modifiye Edilmiş k-Ortalamlar (FGMCM) algoritması geliştirilmiştir.

Kesin kümeleme probleminin pürüzlü-dışbükey olmayan (nonsmooth nonconvex) formülasyonu yardımıyla tanımlanmış olan Global k-Ortalamlar ve Modifiye Edilmiş Global k-Ortalamlar algoritmaları global çözümü bulmada önemli avantajlara sahiptir. Kesin kümelemede geliştirilen bu algoritmalar bulanık kümeleme problemlerine uygulanıp, artımlı FGMCM algoritması sunulmuştur.

Sunulan algoritmanın yazılımı Microsoft SQL Server kullanılarak ve C# programlama dilinde arayüz oluşturularak gerçekleştirilmiştir.

Oluşturulan yazılım kullanılarak UC Irvine Machine Learning Repository (<http://archive.ics.uci.edu/ml/>) veri ambarından seçilen 12 veri seti için hesaplama denemeleri yapılmış, Bulanık k-Ortalamlar algoritması ile karşılaştırmalı analizi verilmiştir.

Yapılan denemeler FGMCM algoritmasının etkinliğini açıkça ortaya koymaktadır.

Gelecek zamandaki çalışmalar içerisinde önerilen algoritmanın hesaplama zamanının iyileştirilmesi planlanmaktadır.

Tez konusu ile dolaylı ilişkisi olan, komşuluğa dayalı bulanık kümeleme algoritması FN-DBSCAN (Fuzzy Neighborhood Density-Based Spatial Clustering of Applications with Noise) konusunda da araştırmalar yapılmış ve bir yayın yayınlanmıştır (Diker and Nasibov, 2012).

KAYNAKLAR DİZİNİ

- A. Zadeh L.**, 1965, *Information and Control* 8, pp. 338-353, Fuzzy Sets
- Bagirov A.M.**, Modified global k-means algorithm for minimum sum-of-squares clustering problems, 2008, *Pattern Recognition* 41, pp. 3192- 3199.
- Brandt M.E., Bohant T.P., Kramer L.A. and Fletcher J.M.**, 1994, Estimation of CSF, white and gray matter volumes in hydrocephalic children using fuzzy clustering of Mr Images, *Computerized Medical Imaging and Graphics*, January–February 1994, pp. 25–34
- Chuang K., Tzeng H., Chen S., Wu J. and Chen T.**, 2006, Fuzzy c-means clustering with spatial information for image segmentation, *Computerized Medical Imaging and Graphics* 30, pp. 9–15 .
- Dell’Acqua F. and Gamba P.**, 2001, Detection of Urban Structures in SAR Images by Robust Fuzzy Clustering Algorithms: The Example of Street Tracking, *IEEE Transactions On Geoscience And Remote Sensing*, No.10, October 2001
- Diker A.C. and Nasibov E.E.**, Estimation of Traffic Congestion Level via FN-DBSCAN Algorithm by Using GPS Data, *Proc. IV International Conference “Problems of Cybernetics and Informatics” (PCI’2012)*, September 12-14, 2012, Baku, pp. 65–68..
- Georgiou D.N., Karakasidis T.E., Nieto J.J. and Torres A.**, 2008, Use of fuzzy clustering technique and matrices to classify amino acids and its impact to Chou's pseudo amino acid composition, *Journal of Theoretical Biology* 257, pp. 17–26.
- Höppner F., Klawonn F., Krusea R. and Runkler T.**, 1999, *Fuzzy Cluster Analysis*, Wiley, Chichester.
- Kaymak U. and Setnes M.**, 2000, Extended Fuzzy Clustering Algorithms, ERIM Report Series *Research In Management*, November 2000, <http://www.irim.eur.nl>. (Erişim tarihi Haziran 2012)

KAYNAKLAR DİZİNİ (devam)

Likas A., Vlassis N. and Verbeek J., 2001, The global k-means clustering algorithm, *Pattern Recognition* 36, pp. 451 – 461.

Staianoa A., Tagliaferria R. and Pedrycz W., 2005, Improving RBF networks performance in regression tasks by means of a supervised fuzzy clustering, *Neurocomputing* 69, pp. 1570-1581.

UC Irvine Machine Learning Repository (<http://archive.ics.uci.edu/ml/>)
(Erişim tarihi Eylül 2012)

Vanisri D. and Loganathan C., 2010, An Efficient Fuzzy Clustering Algorithm Based on Modified K-Means, *International Journal of Engineering Science and Technology*, pp. 5949-5958.

Velmurugan T. and Santhanam T., 2010, Performance Evaluation of K-Means and Fuzzy C-Means Clustering Algorithms for Statistical Distributions of Input Data Points, *European Journal of Scientific Research*, ISSN 1450-216X No.3, pp.320-330.

Yang J., Hao S. and Chung P., 2001, Color image segmentation using fuzzy C-means and eigenspace projections, *Signal Processing* 82, pp. 461 – 472.

EKLER

EK 1. PROGRAM KODU VE PROSEDÜRLER


```

        beforeCenterPoints[i].CopyPointFrom(TempCenterPoints[i]);
    }

    PointDouble[] centerPoints = new PointDouble[step + 2]; //
size = step+1+1 because need to keep the First Center Point of Data
    for (int i = 0; i < centerPoints.Length; i++)
    {
        centerPoints[i] = new PointDouble(0, 0, 0, 0, 0, 0, 0, 0, 0,
0, 0,
                                0, 0, 0, 0, 0, 0, 0, 0, 0, 0,
0,
                                0, 0, 0, 0, 0, 0, 0, 0, 0, 0,
0,
                                0, 0, 0, 0, 0, 0, 0, 0, 0, 0,
0);

        centerPoints[i].CopyPointFrom(TempCenterPoints[i]);
    }

    double[,] uMembership = new double[DataPoints.Length, step +
2];
    for (int i = 0; i < step + 2; i++)
    {
        for (int j = 0; j < step + 2; j++)
        {
            uMembership[i, j] = uMembershipTemp[i, j];
        }
    }

    // massive for getting the new centers after c means
calculating
    PointDouble[] clCent = new PointDouble[step + 2];
    for (int i = 0; i < clCent.Length; i++)
    {
        clCent[i] = new PointDouble(0, 0, 0, 0, 0, 0, 0, 0, 0, 0,
0,
                                0, 0, 0, 0, 0, 0, 0, 0, 0, 0,
0,
                                0, 0, 0, 0, 0, 0, 0, 0, 0, 0,
0);
    }

    // calculatin the mass center on first step
    if (step == 0)
    {
        // write first center point to centersMassive
        beforeCenterPoints[0] = GlobalPoint.Center(DataPoints);
        centerPoints[0].CopyPointFrom(beforeCenterPoints[0]);
        generalAimFunc = GlobalPoint.AimFunction(DataPoints,
beforeCenterPoints, dimentionCount);

        // first step (for only one center point) the U[i,j] will
be {1,1,...,1}(where j = 1)
        double[,] uMembershipfirst = new double[DataPoints.Length,
1];
        for (int i = 0; i < DataPoints.Length; i++)
        {
            for (int j = 0; j < step + 1; j++)
            {
                uMembershipfirst[i, j] = 1;
            }
        }
        generalAimFunc = GlobalPoint.AimFunctionFuzzy(DataPoints,
beforeCenterPoints, dimentionCount, uMembershipfirst, m_fuzzifier);
        if (getAimToData)
        {
            GlobalPoint.AimValueToData(datasetName, "FGMCM", true,
step + 1, k_count, generalAimFunc);
        }
    }

    // calculating the general aim function (for current center
points) (not in the first step)
    if (step != 0)
    {
        generalAimFunc = GlobalPoint.AimFunctionFuzzy(DataPoints,
beforeCenterPoints, dimentionCount, uMembership, m_fuzzifier);
    }

```

```

        if (getAimToData)
        {
            GlobalPoint.AimValueToData(datasetName, "FGMCM", true,
step + 1, k_count, generalAimFunc);
        }
    }

    // calculating the aim function for every data point and
compare each with general aim function value
    // (to get the point which minimize aim function)
    int index = 0;
    PointDouble candidatePoint = new PointDouble(0, 0, 0, 0, 0, 0,
0, 0, 0, 0,
                                0, 0, 0, 0, 0, 0, 0, 0, 0, 0, 0,
                                0, 0, 0, 0, 0, 0, 0, 0, 0, 0,
                                0, 0, 0, 0, 0, 0, 0, 0, 0, 0);
    PointDouble selectedNextPoint = new PointDouble(0, 0, 0, 0, 0, 0,
0, 0, 0, 0, 0,
                                0, 0, 0, 0, 0, 0, 0, 0, 0, 0,
                                0, 0, 0, 0, 0, 0, 0, 0, 0, 0,
                                0, 0, 0, 0, 0, 0, 0, 0, 0, 0);
    double aimFunc = 0;

    PointDouble[] secondaryTempCenters = new
PointDouble[centerPoints.Length];
    PointDouble[] oldCentersWithCandidate = new
PointDouble[centerPoints.Length];

    for (int h = 0; h < centerPoints.Length; h++)
    {
        oldCentersWithCandidate[h] = new PointDouble(0, 0, 0, 0, 0, 0,
0, 0, 0, 0, 0, 0,
                                0, 0, 0, 0, 0, 0, 0, 0, 0, 0,
                                0, 0, 0, 0, 0, 0, 0, 0, 0, 0,
                                0, 0, 0, 0, 0, 0, 0, 0, 0, 0);
        oldCentersWithCandidate[h].CopyPointFrom(centerPoints[h]);
        // no candidate yet
    }

    double[,] secondaryTemp_uMembership = new
double[DataPoints.Length, centerPoints.Length];
    // compare each data result
    for (int i = 0; i < DataPoints.Length; i++)
    {
        // use current data point as a center and calculate aim
function copy DataPoint to Candidate
        candidatePoint.CopyPointFrom(DataPoints[i]);
        oldCentersWithCandidate[step +
1].CopyPointFrom(candidatePoint);

        // candidate noktayla beraber diger merkezlerle olusan
kumelerin merkezleri hesaplaniyor
        secondaryTempCenters =
GlobalPoint.GetNewCentersFromSetWithOldCenters(DataPoints,
oldCentersWithCandidate, dimentionCount);

        // calculate the secondary temp U[i,j] membership massive
        secondaryTemp_uMembership =
GlobalPoint.GetMembershipValues(DataPoints, secondaryTempCenters, dimentionCount,
m_fuzzifier);

        // calculatin the aim function value for last center
points (secondaryTempCenters)
        aimFunc = GlobalPoint.AimFunctionFuzzy(DataPoints,
secondaryTempCenters, dimentionCount, secondaryTemp_uMembership, m_fuzzifier);

        if (aimFunc < generalAimFunc)
        {
            generalAimFunc = aimFunc;
            if (getAimToData)
            {

```

```

        GlobalPoint.AimValueToData(datasetName, "FGMCM",
false, index + 1, k_count, aimFunc);
    }
    // make Data point and new center points from old
points as a new Center points
    for (int h = 0; h < centerPoints.Length; h++)
    {
centerPoints[h].CopyPointFrom(secondaryTempCenters[h]);
        uMembership = secondaryTemp_uMembership;
    }

    //selectedNextPoint.CopyPointFrom(candidatePoint);
    }
    index++;

    }

    //centerPoints[step + 1].CopyPointFrom(selectedNextPoint);

    // massive for getting the new centers after fuzzy c means
calculating
    //PointDouble[] clCent = new PointDouble[step + 2];
    for (int i = 0; i < clCent.Length; i++)
    {
        clCent[i] = new PointDouble(0, 0, 0, 0, 0, 0, 0, 0, 0, 0, 0, 0,
            0, 0, 0, 0, 0, 0, 0, 0, 0, 0,
            0, 0, 0, 0, 0, 0, 0, 0, 0, 0,
            0, 0, 0, 0, 0, 0, 0, 0, 0, 0);
    }
    // calculating the Fuzzy c-means for centers and new best
point
    // if show selected(true) then doDatabaseWorks = true -> do
every database step visually

    bool doDatabaseWorks = false;
    // if show selected(true) then doDatabaseWorks = true -> do
every database step visually
    if (showGMkM || step == k - 1) // if last step
    {
        doDatabaseWorks = true;
    }

    //CalculateClassicKMeans(step + 2, datasetName, epsilon,
dimentionCount,centerPoints, true, doDatabaseWorks, ref clCent);
    CalculateFuzzyCMeans(step + 2, datasetName, epsilon,
dimentionCount,
        m_fuzzifier,
centerPoints, true, doDatabaseWorks,
true,
        ref distCount, ref clCent, ref
uMembership);

    // get the fcmeans cluster centers to massive
    for (int s = 0; s < centerPoints.Length; s++)
    {
        TempCenterPoints[s].CopyPointFrom(clCent[s]);
    }
    for (int i = 0; i < DataPoints.Length; i++)
    {
        for (int j = 0; j < step + 2; j++)
        {
            uMembershipTemp[i, j] = uMembership[i, j];
        }
    }
    fgmcmDistCount = fgmcmDistCount + distCount;

    generalAimFuncTemp = GlobalPoint.AimFunctionFuzzy(DataPoints,
clCent, dimentionCount, uMembership, m_fuzzifier);
    // if General Aim Function Value not changed write to database
last General Aim Value and break the loop
    if (generalAimFuncTemp == generalAimFunc)
    {
        GlobalPoint.AimValueToData(datasetName, "FGMCM", true,
step + 2, k_count, generalAimFunc);
        break;
    }

```

```

    }
    // calculate last the best Aim Value and write to database
    if (step == k-1) // if last step
    {
        if (getAimToData)
        {
            generalAimFunc = generalAimFuncTemp;
            GlobalPoint.AimValueToData(datasetName, "FGMCM", true,
step + 2, k_count, generalAimFunc);
        }
    }
}

GlobalPoint.ClearCentersFromDatabase(datasetName, "FGMCM");
GlobalPoint.WriteCentersToDatabase(datasetName, TempCenterPoints,
"FGMCM");

// write distanceCalcCount to database
if (distCalcCount)
{
    GlobalPoint.ClearDistCountFromDatabase(datasetName, "FGMCM",
k_count);
    GlobalPoint.WriteDistCountToDatabase(datasetName, "FGMCM",
k_count, dimentionCount, fgmcmDistCount);
}

// write the count of points for every cluster to database
if (writePointPerCluster)
{
    ClearPointsPerClusterTable(datasetName, "FGMCM", k_count,
true);
    AddPointsPerClusterTable(datasetName, "FGMCM", k_count, true);
}
execTotal.Stop();

string queryExecuteTotal = "INSERT INTO CLUSTERING_EXECUTION_TIME
VALUES ( 'K_MEANS_' + datasetName + '", '" + (k+1).ToString() + "', " +
" 'FGMCM', GETDATE(), '" + execTotal.Elapsed +
"', 'TOTAL' )";
SqlCommand cmdExecuteTotal = new SqlCommand(queryExecuteTotal,
sconn);
cmdExecuteTotal.ExecuteNonQuery();

execTime.Text = execTotal.Elapsed.ToString();
}
catch (Exception ex) { MessageBox.Show("Error on Global K Means
clustering : " + ex.Message); }

//-----
}

```

b) Bulanık c-Ortalamlar algoritması:

```

private void CalculateFuzzyCMeans(int k_count, string datasetName, double epsilon,
int dimentionCount,
double m_fuzzifier /*The fuzzifier m
determines the level of cluster fuzziness.*/,
PointDouble[] firstPoints, bool
useFirstPoints,
bool doDatabaseWorks, bool fromFGMCM,
ref int distCount, ref PointDouble[]
clusteringCentersReturned, ref double[,] uMembership)
{
    try
    {
        if (epsilon < 0) { throw new Exception("Invalid epsilon value"); }
    }
}

```

```

        System.Diagnostics.Stopwatch execTotal = new
System.Diagnostics.Stopwatch();
        execTotal.Start();

        System.Diagnostics.Stopwatch execWatch = new
System.Diagnostics.Stopwatch();
        execWatch.Start();

        int k = k_count;
        int w = panel3.Width - 5; // horizontal
        int h = panel3.Height - 5; // vertical
        double diff = 0;
        double diffBefore = 0;
        int loop = 0;
        distCount = 0;

        // initialize the Data points from dataset to massive
        int dataCount = 0;
        PointDouble[] DataPoints = new PointDouble[0];
        DataPoints = GlobalPoint.GetDataPoints("K_MEANS_" + datasetName,
out dataCount);

        PointDouble[] CenterPoints = new PointDouble[k];
        PointDouble[] NewCenterPoints = new PointDouble[k];
        for (int i = 0; i < CenterPoints.Length; i++)
        {
            CenterPoints[i] = new PointDouble(0, 0, 0, 0, 0, 0, 0, 0, 0, 0,
0,
                0, 0, 0, 0, 0, 0, 0, 0, 0, 0, 0,
                0, 0, 0, 0, 0, 0, 0, 0, 0, 0, 0,
                0, 0, 0, 0, 0, 0, 0, 0, 0, 0, 0);
            NewCenterPoints[i] = new PointDouble(0, 0, 0, 0, 0, 0, 0, 0, 0, 0,
0, 0,
                0, 0, 0, 0, 0, 0, 0, 0, 0, 0, 0,
                0, 0, 0, 0, 0, 0, 0, 0, 0, 0, 0,
                0, 0, 0, 0, 0, 0, 0, 0, 0, 0, 0);
        }
        double[,] distances = new double[DataPoints.Length, k];
        double[,] uMembershipMassive = new double[DataPoints.Length, k];
        double[,] uMembershipMassiveBefore = new double[DataPoints.Length,
k];

        double[] totalDist = new double[DataPoints.Length];
        double[] sumSquareFuzzifier = new double[k];

        // use given first points or not?
        if (useFirstPoints == true)
        {
            // get first points from parameter
            for (int f = 0; f < k; f++)
            {
                CenterPoints[f].CopyPointFrom(firstPoints[f]);
            }
        }
        else
        {
            // get first points randomly
            RandomPoints points = new RandomPoints();
            CenterPoints = points.GetPoints(k, w, h,
Convert.ToInt32(att3Edit.Text), Convert.ToInt32(att4Edit.Text), ...
Convert.ToInt32(att40Edit.Text),
            fromData, datasetName); // gives a massive of random points
        }

        // make center massives equal before loop begin
        for (int i = 0; i < k; i++)
        {
            NewCenterPoints[i].CopyPointFrom(CenterPoints[i]);
        }

        // begin of algorithm do while ||diffBefore->[U(k)] - diff-
>[U(k+1)]|| < epsilon
        do
        {
            // get last calculated New points to current center point
            massive
            for (int i = 0; i < k; i++)
            {

```

```

        CenterPoints[i].CopyPointFrom(NewCenterPoints[i]);
    }
    for (int i = 0; i < k; i++)
    {
        NewCenterPoints[i] = new PointDouble(0, 0, 0, 0, 0, 0, 0, 0,
0, 0, 0, 0, 0, 0, 0, 0, 0, 0, 0, 0, 0, 0, 0, 0, 0, 0, 0, 0, 0, 0, 0, 0, 0, 0,
0, 0, 0, 0, 0, 0, 0, 0, 0, 0, 0, 0, 0, 0, 0, 0, 0, 0, 0, 0, 0, 0, 0, 0, 0, 0, 0, 0, 0, 0, 0, 0, 0, 0,
0, 0);
    }
    // get the massive of distances
    for (int i = 0; i < DataPoints.Length; i++)
    {
        for (int j = 0; j < k; j++)
        {
            distances[i, j] =
GlobalPoint.EuclideanDistance(DataPoints[i], CenterPoints[j], dimentionCount);
            distCount++;
        }
    }

    // get the massive of total distances
    for (int i = 0; i < DataPoints.Length; i++)
    {
        for (int j = 0; j < k; j++)
        {
            //totalDist[i] = totalDist[i] + 1 /
Math.Pow(distances[i, j], (2 / (m_fuzzifier - 1)));
            if (double.IsInfinity(1 / Math.Pow(distances[i, j], (2
/ (m_fuzzifier - 1)))))
            {
                totalDist[i] = totalDist[i] + 0;
            }
            else
            {
                totalDist[i] = totalDist[i] + 1 /
Math.Pow(distances[i, j], (2 / (m_fuzzifier - 1)));
            }
        }
    }

    // calculate the U[i,j] memberships massive of data points and
write to database
    for (int i = 0; i < DataPoints.Length; i++)
    {
        for (int j = 0; j < k; j++)
        {
            if (double.IsInfinity(1 / Math.Pow(distances[i, j], (2
/ (m_fuzzifier - 1))) / totalDist[i]))
            {
                uMembershipMassive[i, j] = 0;
            }
            else
            {
                uMembershipMassive[i, j] = 1 /
Math.Pow(distances[i, j], (2 / (m_fuzzifier - 1))) / totalDist[i];
            }
        }
    }

    //calculate the sum of U[i,j] with m fuzzifier
    for (int j = 0; j < sumSquareFuzzifier.Length; j++)
    {
        for (int i = 0; i < DataPoints.Length; i++)
        {
            sumSquareFuzzifier[j] = sumSquareFuzzifier[j] +
Math.Pow(uMembershipMassive[i, j], (2 / (m_fuzzifier - 1)));
        }
    }

    // calculate new centers to massive NewCenterPoints
    for (int j = 0; j < k; j++)
    {

```

```

        for (int i = 0; i < DataPoints.Length; i++)
        {
            double a = Math.Pow(uMembershipMassive[i, j], (2 /
(m_fuzzifier - 1))) / sumSquareFuzzifier[j];
            NewCenterPoints[j].X = NewCenterPoints[j].X +
DataPoints[i].X * a;
            NewCenterPoints[j].Y = NewCenterPoints[j].Y +
DataPoints[i].Y * a;
            if (dimentionCount > 2) { NewCenterPoints[j].Z =
NewCenterPoints[j].Z + DataPoints[i].Z * a; }
            ...
            if (dimentionCount > 39) { NewCenterPoints[j].X40 =
NewCenterPoints[j].X40 + DataPoints[i].X40 * a; }
        }
    }

// check if ||U(k+1) - U(k)|| < epsilon and initilize
uMembershipMassive
diffBefore = diff;
for (int i = 0; i < DataPoints.Length; i++)
{
    for (int j = 0; j < k; j++)
    {
        diff = diff + uMembershipMassive[i, j] -
uMembershipMassiveBefore[i, j];
        uMembershipMassiveBefore[i, j] = uMembershipMassive[i,
j];
    }
}
// empty the temp massives
for (int i = 0; i < DataPoints.Length; i++) { totalDist[i] =
0; }

for (int i = 0; i < k; i++) { sumSquareFuzzifier[i] = 0; }

loop++;
if (useLoopLimitCheck.Checked)
{
    loopLimitNotReached = loop < loopLimitBox.Value;
}
else {
    loopLimitNotReached = true;
}
} while (Math.Abs(diffBefore - diff) > epsilon &&
loopLimitNotReached);

LoopCount.Text = loop.ToString() + " ; ";

// get the ref parameters (center points)
for (int i = 0; i < k; i++)
{
    clusteringCentersReturned[i] = new PointDouble(0, 0, 0, 0, 0,
0, 0, 0, 0, 0,
0, 0, 0, 0, 0, 0, 0, 0, 0, 0, 0, 0,
0, 0, 0, 0, 0, 0, 0, 0, 0, 0, 0, 0,
0, 0, 0, 0, 0, 0, 0, 0, 0, 0, 0, 0,
0, 0, 0);
}
for (int i = 0; i < k; i++)
{
    clusteringCentersReturned[i].CopyPointFrom(NewCenterPoints[i]); // out parameter
}

//get the ref parameters (centar points) if uMembership is not
just [0, 0]
if (uMembership.Length != 0)
{
    for (int i = 0; i < DataPoints.Length; i++)
    {
        for (int j = 0; j < k; j++)
        {
            uMembership[i, j] = uMembershipMassive[i, j];
        }
    }
}

```

```

        }
    }
}

execWatch.Stop();

// database queries !!!
string columnForClusters = "";
string zeroValues = " ";
for (int i = 0; i < k; i++)
{
    columnForClusters = columnForClusters + " J" + (i +
1).ToString() + " AS J" + (i + 1).ToString() + ",";
    //columnForClusters = columnForClusters + " J" + (i +
1).ToString() + ",";
}
columnForClusters = columnForClusters.Substring(0,
columnForClusters.Length - 1);
for (int i = 0; i < 50 - k; i++)
{
    zeroValues = zeroValues + "0,";
}
zeroValues = zeroValues.Substring(0, zeroValues.Length - 1);

// update U Membership Masiive Values to database

string queryTrunc = "TRUNCATE TABLE C_MEANS_MEMBERSHIP_" +
datasetName + " ";
SqlCommand cmdTrunc = new SqlCommand(queryTrunc, sconn);
cmdTrunc.ExecuteNonQuery();

// creating a table of values from uMembershipMassive
da_Bulk = new SqlDataAdapter("SELECT * FROM C_MEANS_MEMBERSHIP_" +
datasetName + " WHERE 1 = 2", MSSQLConnString);
DataTable dt_Bulk = new DataTable();
da_Bulk.Fill(dt_Bulk);

for (int i = 0; i < DataPoints.Length; i++)
{
    DataRow dr_Bulk = dt_Bulk.NewRow();
    dr_Bulk["ID"] = i + 1;

    for (int j = 0; j < k; j++)
    {
        dr_Bulk["J" + (j + 1)] = uMembershipMassive[i, j];
    }
    dt_Bulk.Rows.Add(dr_Bulk);
}

// Open bulkcopy connection.
SqlBulkCopy bulkcopy = new SqlBulkCopy(sconn);

//Set destination table name to table previously created.
bulkcopy.DestinationTableName = "C_MEANS_MEMBERSHIP_" +
datasetName;

try
{
    bulkcopy.WriteToServer(dt_Bulk); // SourceTable would come
from your DataSet
}
catch (Exception ex)
{
    Console.WriteLine(ex.Message);
}

// update centerPoints massive to database
GlobalPoint.ClearCentersFromDatabase(datasetName, "FCM");
GlobalPoint.WriteCentersToDatabase(datasetName, NewCenterPoints,
"FCM");

string queryMem = "EXEC C_MEANS_MEMBERSHIP_CLUSTERING_PROC
'C_MEANS_MEMBERSHIP_' + datasetName + '";
SqlCommand cmdMem = new SqlCommand(queryMem, sconn);
cmdMem.ExecuteNonQuery();

// write execution times to database

```



```

        string queryExecuteTime = "INSERT INTO CLUSTERING_EXECUTION_TIME
VALUES ( 'K_MEANS_' + datasetName + ", '" + k.ToString() + "', " +
        " 'FCM', GETDATE(), '" + execWatch.Elapsed +
        "', 'SYSTEM' )";
        SqlCommand cmdExecuteTime = new SqlCommand(queryExecuteTime,
sconn);
        cmdExecuteTime.ExecuteNonQuery();

        if (doDatabaseWorks)
        {
            System.Diagnostics.Stopwatch databaseQueriesTotalWatch = new
System.Diagnostics.Stopwatch();
            databaseQueriesTotalWatch.Start();

            colorThePointsFuzzy(datasetName, false, NewCenterPoints,
Convert.ToInt32(alphaPowerText.Text));

            // writing aimvalues to database
            if (getAimToData)
            {
                //double generalAimFunc = 0;
                double generalFuzzyAimFunc = 0;
                //generalAimFunc = GlobalPoint.AimFunction(DataPoints,
NewCenterPoints, dimentionCount);
                generalFuzzyAimFunc =
GlobalPoint.AimFunctionFuzzy(DataPoints, NewCenterPoints, dimentionCount,
uMembershipMassive, m_fuzzifier);
                // GlobalPoint.AimTableClear(datasetName, "FCM", k_count);
                //GlobalPoint.AimValueToData(datasetName, "FCM", true, 1,
generalAimFunc);
                GlobalPoint.AimValueToData(datasetName, "FCM", true, 1,
k_count, generalFuzzyAimFunc);
            }

            if (distCalcCount)
            {
                // GlobalPoint.ClearDistCountFromDatabase(datasetName,
"FCM");
                GlobalPoint.WriteDistCountToDatabase(datasetName, "FCM",
k_count, dimentionCount, distCount);
            }

            // write the count of points for every cluster to database
            if (writePointPerCluster)
            {
                // ClearPointsPerClusterTable(datasetName, "FCM", k_count,
true);
                AddPointsPerClusterTable(datasetName, "FCM", k_count,
true);
            }

            if (writeLoopCountToData)
            {
                // GlobalPoint.LoopCountClear(datasetName, "FCM",
k_count);
                GlobalPoint.LoopCountToData(datasetName, "FCM",
!fromFGMCM, loop, diffBefore - diff, k_count);
            }

            databaseQueriesTotalWatch.Stop();

            string queryExecuteTimeDB = "INSERT INTO
CLUSTERING_EXECUTION_TIME VALUES ( 'K_MEANS_' + datasetName + ", '" +
k.ToString() + "', " +
            " 'FCM', GETDATE(), '" +
databaseQueriesTotalWatch.Elapsed + "', 'DATABASE' )";
            SqlCommand cmdExecuteTimeDB = new
SqlCommand(queryExecuteTimeDB, scnn);
            cmdExecuteTimeDB.ExecuteNonQuery();
        }

        execTotal.Stop();

        string queryExecuteTotal = "INSERT INTO CLUSTERING_EXECUTION_TIME
VALUES ( 'K_MEANS_' + datasetName + ", '" + k.ToString() + "', " +

```

```

        " 'FCM', GETDATE(), '" + execTotal.Elapsed +
        "', 'TOTAL' )";
        SqlCommand cmdExecuteTotal = new SqlCommand(queryExecuteTotal,
sconn);
        cmdExecuteTotal.ExecuteNonQuery();

        execTime.Text = execTotal.Elapsed.ToString();
    }
    catch (Exception ex) { MessageBox.Show("Error on Fuzzy C Means
clustering : " + ex.Message); }
}

```

c) *PointDouble* sınıfı ve yöntemleri:

```

class PointDouble
{
    private double PointDoubleX;
    private double PointDoubleY;
    private double PointDoubleZ;
    ...
    private double PointDoubleX40;

    public const int NOISE = -1;
    public const int UNCLASSIFIED = 0;
    public int ClusterId;

    public PointDouble()
    {
        this.X = 0.0;
        this.Y = 0.0;
        this.Z = 0.0;
        ...
        this.X40 = 0.0;
    }

    public PointDouble(double X, double Y, double Z,
        ... double X40)
    {
        this.X = X;
        this.Y = Y;
        this.Z = Z;
        ...
        this.X40 = X40;
    }

    public double X
    {
        get { return PointDoubleX; }
        set { PointDoubleX = value; }
    }

    ...

    public double X40
    {
        get { return PointDoubleX40; }
        set { PointDoubleX40 = value; }
    }

    public void CopyPointFrom(PointDouble p)
    {
        this.X = p.X;
        this.Y = p.Y;
        if (dimentionCount > 2) { this.Z = p.Z; }
        ...
        if (dimentionCount > 39) { this.X40 = p.X40; }
    }
}

```

```
}
```

d) *GlobalPoint* sınıfı ve yöntemleri:

```
static class GlobalPoint
{

static public PointDouble Center(PointDouble[] pM)
{
    // calculate the center of given points
    int k = pM.Length;
    if (k == 0)
    {
        return new PointDouble(0, 0, 0, 0, 0, 0, 0, 0, 0, 0, 0, 0,
                                0, 0, 0, 0, 0, 0, 0, 0, 0, 0, 0, 0,
                                0, 0, 0, 0, 0, 0, 0, 0, 0, 0, 0, 0,
                                0, 0, 0, 0, 0, 0, 0, 0, 0, 0, 0, 0);
    }
    double centerX = 0; double centerY = 0; double centerZ = 0; ...
double centerX40 = 0;
    for (int i = 0; i < k; i++)
    {
        centerX = centerX + pM[i].X;
        centerY = centerY + pM[i].Y;
        centerZ = centerZ + pM[i].Z;
        ...
        centerX40 = centerX40 + pM[i].X40;
    }
    centerX = centerX / k;
    centerY = centerY / k;
    centerZ = centerZ / k;
    ...
    centerX40 = centerX40 / k;
    return new PointDouble(centerX, centerY, centerZ, ... centerX40);
}

static public double AimFunction(PointDouble[] DataPoints, PointDouble[]
CenterPoints, int dimationCount)
{
    // calculate the aim function for given data and center points
    int DaCount = DataPoints.Length;
    int CeCount = CenterPoints.Length;
    double[] distances = new double[DaCount];
    double currentDistance;
    double funcValue = 0;

    for (int i = 0; i < DaCount; i++)
    {
        currentDistance = 0;
        for (int j = 0; j < CeCount; j++)
        {
            currentDistance =
GlobalPoint.EuclideanDistance(DataPoints[i], CenterPoints[j], dimationCount);
            if (j == 0 || currentDistance < distances[i]) {
                distances[i] = currentDistance;
            }
        }
        //funcValue = funcValue + Math.Pow(distances[i],2);
        funcValue = funcValue + distances[i];
    }
    return funcValue;
}
}
```

```

static public double AimFunctionFuzzy(PointDouble[] DataPoints, PointDouble[]
CenterPoints, int dimentionCount, double[,] uMembershipMassive, double
m_fuzzifier)
{
    // calculate the fuzzy aim function for given data and center
points
    int DaCount = DataPoints.Length;
    int CeCount = CenterPoints.Length;

    double currentDistance;
    double funcValue = 0;

    for (int i = 0; i < DaCount; i++)
    {
        currentDistance = 0;
        for (int j = 0; j < CeCount; j++)
        {
            currentDistance =
GlobalPoint.EuclideanDistance(DataPoints[i], CenterPoints[j], dimentionCount);
            funcValue = funcValue + Math.Pow(uMembershipMassive[i,j],
m_fuzzifier) * Math.Pow(currentDistance, 2);
        }
    }
    return funcValue;
}

```

```

static public double EuclideanDistance(PointDouble p1, PointDouble p2, int
dimcount)
{
    double dist = 0;
    dist = dist + Math.Pow(p1.X - p2.X, 2);
    dist = dist + Math.Pow(p1.Y - p2.Y, 2);
    if (dimcount > 2) { dist = dist + Math.Pow(p1.Z - p2.Z, 2); }
    if (dimcount > 3) { dist = dist + Math.Pow(p1.A - p2.A, 2); }
    ...
    if (dimcount > 39) { dist = dist + Math.Pow(p1.X40 - p2.X40, 2); }

    return Math.Sqrt(dist);
}

```

```

static public PointDouble[] GetNewCentersFromSetWithOldCenters(PointDouble[]
DataPoints, PointDouble[] OldCenters, int dimentionCount)
{
    // calculating new center points from given data set and given old
center points

    PointDouble[] NewCenters = new PointDouble[OldCenters.Length];
    int[] WhichCluster = new int[DataPoints.Length];
    double dist, minDist = 0;
    int index = 0;

    // calculating toe which cluster belong the data and write all to
WhichCluster massive
    for (int i = 0; i < DataPoints.Length; i++)
    {
        for (int j = 0; j < OldCenters.Length; j++)
        {
            dist = GlobalPoint.EuclideanDistance(DataPoints[i],
OldCenters[j], dimentionCount);
            if (dist < minDist || j == 0)
            {
                minDist = dist;
                WhichCluster[i] = j + 1;
            }
        }
    }
}

```

```

        }
        dist = 0;
        minDist = 0;
    }

    // for every old center point loop:
    for (int j = 0; j < OldCenters.Length; j++)
    {
        // calculate how many points in current cluster to create
TempCluster massive
        for (int i = 0; i < DataPoints.Length; i++)
        {
            if (WhichCluster[i] == j + 1)
            {
                index++;
            }
        }

        PointDouble[] TempCluster = new PointDouble[index];
        index = 0;

        // insert into TempCluster the points of current cluster
        int nextNo = 0;
        for (int i = 0; i < DataPoints.Length; i++)
        {
            if (WhichCluster[i] == j + 1)
            {
                TempCluster[nextNo] = DataPoints[i];
                nextNo++;
            }
        }
        NewCenters[j] = GlobalPoint.Center(TempCluster);
    }

    return NewCenters;
}

static public double[,] GetMembershipValues(PointDouble[] DataPoints,
PointDouble[] centerPoints, int dimentionCount, double m_fuzzifier)
{
    double[,] distances = new double[DataPoints.Length,
centerPoints.Length];
    double[,] uMembershipMassive = new double[DataPoints.Length,
centerPoints.Length];
    double[] totalDist = new double[DataPoints.Length];
    //double[] sumSquareFuzzifier = new double[centerPoints.Length];

    // get the massive of distances
    for (int i = 0; i < DataPoints.Length; i++)
    {
        for (int j = 0; j < centerPoints.Length; j++)
        {
            distances[i, j] =
GlobalPoint.EuclideanDistance(DataPoints[i], centerPoints[j], dimentionCount);
        }
    }

    // get the massive of total distances
    for (int i = 0; i < DataPoints.Length; i++)
    {
        for (int j = 0; j < centerPoints.Length; j++)
        {
            //totalDist[i] = totalDist[i] + 1 / Math.Pow(distances[i,
j], (2 / (m_fuzzifier - 1)));
            if (double.IsInfinity(1 / Math.Pow(distances[i, j], (2 /
(m_fuzzifier - 1)))))
            {
                totalDist[i] = totalDist[i] + 0;
            }
            else

```

```

        {
            totalDist[i] = totalDist[i] + 1 /
Math.Pow(distances[i, j], (2 / (m_fuzzifier - 1)));
        }

    }

    // calculate the U[i,j] memberships massive of data points
    for (int i = 0; i < DataPoints.Length; i++)
    {
        for (int j = 0; j < centerPoints.Length; j++)
        {
            if (double.IsInfinity(1 / Math.Pow(distances[i, j], (2 /
(m_fuzzifier - 1))) / totalDist[i]))
            {
                uMembershipMassive[i, j] = 0;
            }
            else
            {
                uMembershipMassive[i, j] = 1 / Math.Pow(distances[i,
j], (2 / (m_fuzzifier - 1))) / totalDist[i];
            }
        }
    }

    return uMembershipMassive;
}
}
}

```